

Combined Higgs Searches @ TeVatron

Sébastien Greder

Institut Pluridisciplinaire Hubert Curien, Strasbourg

For the D0 and CDF collaborations

Outline

Le boson de Higgs et le MS

Recherche du boson de Higgs au TeVatron

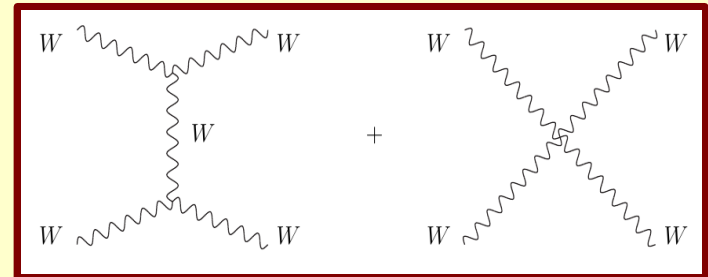
Perspectives et conclusion

Higgs et MS

Interactions faibles

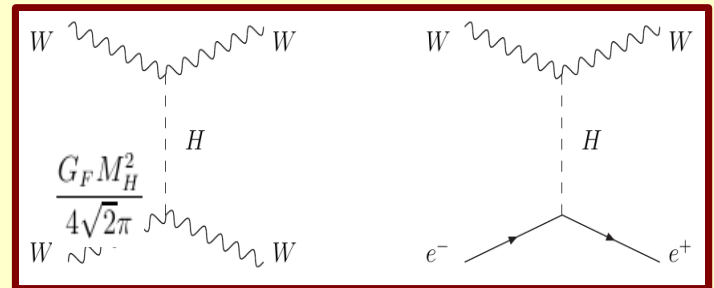
Auto-couplages

- Couplages trilinéaires \Rightarrow diffusions quasi-élastiques $WW \rightarrow WW$
- Divergences quartiques
 - Couplage quadri-linéaires !
 - Unitarité pas complètement restaurée



Issues de secours

- Nouvelle(s) *interaction(s) forte(s)* entre les bosons W
- Nouvelle particule, le *boson scalaire de Higgs, H*
 - Unitarité restaurée si M_H assez “petite”
 - Interférences effectives seulement si le couplage de H aux bosons/fermions est *proportionnel à leur masse*
- Unitarité et processus $WW \rightarrow WWH / HHH$ permettent de contraindre *l'auto-couplage* de H \Rightarrow potentiel doit être de forme *quartiques* avec des coefficients prop. à M_H et au couplage WWH



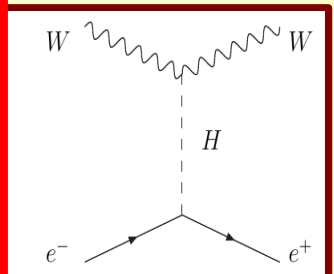
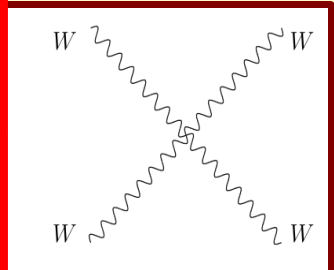
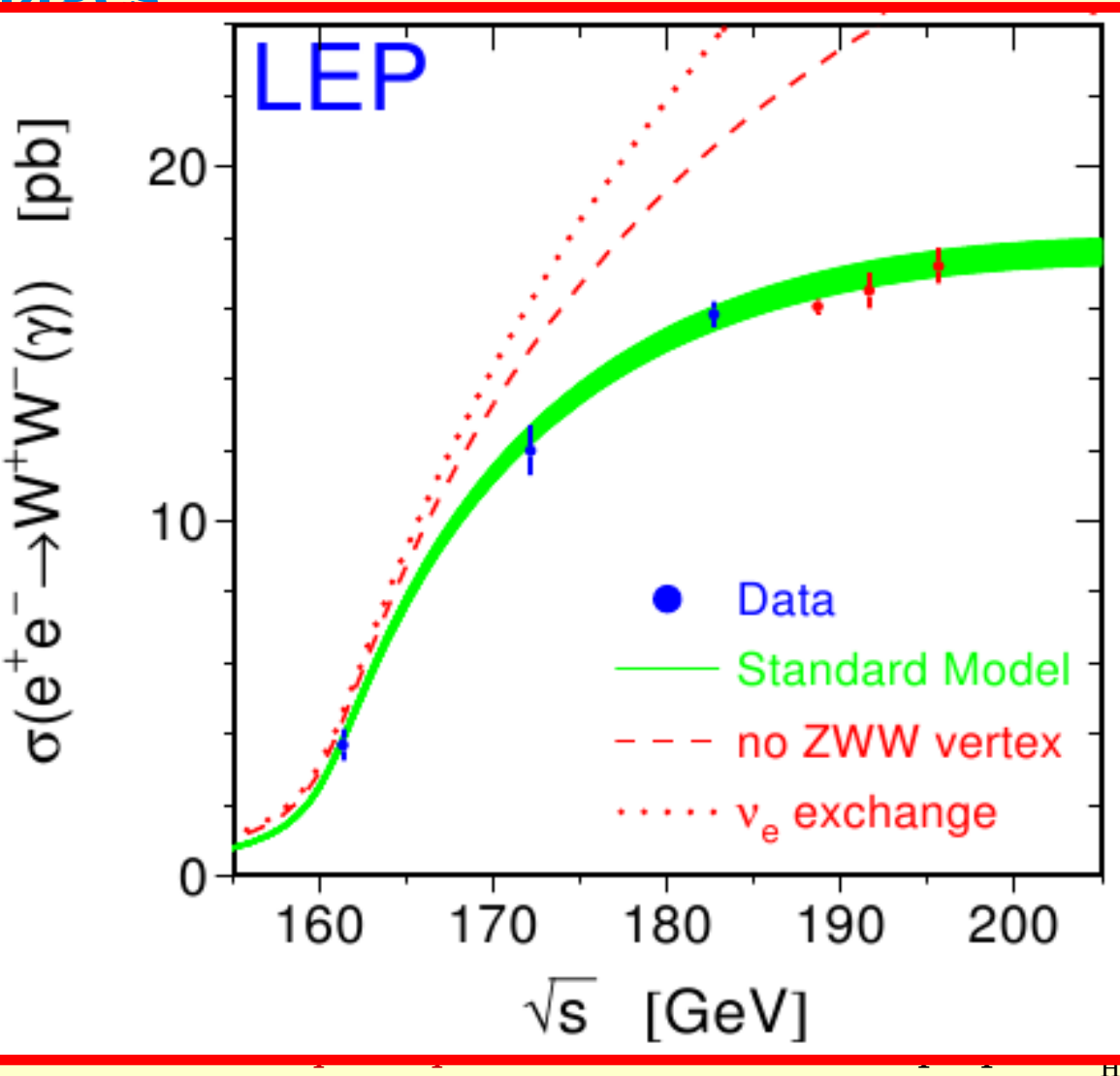
Interactions faibles (II)

Auto-couplages

- Couplages tri
- Divergences
- Co
- Un

Issues de s

- Nouvelle(s) *in*
- Nouvelle parti
- Unitarité et p
⇒ potentiel de WWH

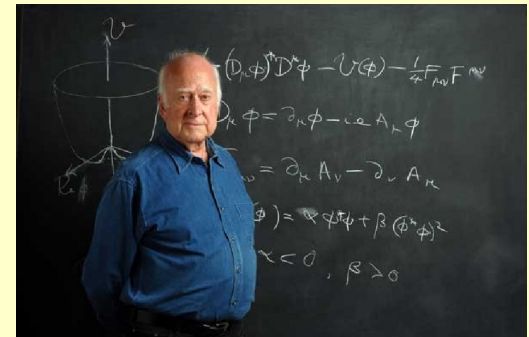


→ masse
auto-couplage de H
et au couplage

Mécanisme de Higgs

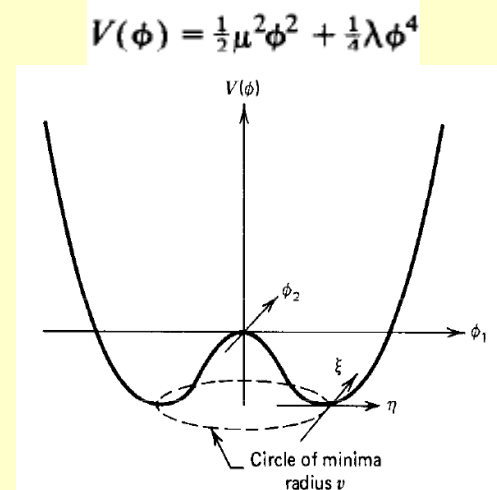
Invariance de jauge

- **Globale** : conservation globale d'un "courant"
- **Locale** : dérivée covariante \Leftrightarrow **interaction(s) !**
- 't Hooft : une théorie est *renormalisable* si de type Yang-Mills, *i.e.* invariante par transformation de jauge locale



Brisure “spontanée” de symétrie

- **Globale** : boson de Goldstone, *non-massif*
- **Locale** : bosons vecteur massifs (*via* dérivée covariante) et /
mais fermions massifs via interactions de Yukawa
+ boson scalaire, le Higgs
- Répond à toutes les conditions nécessaires au respect de
de l'unitarité (*c.f. transparents précédents*)



Le mécanisme de Higgs permet de construire une théorie renormalisable avec des bosons et des fermions massifs tout en gardant la dynamique invariante de jauge

Contraintes sur la masse du Higgs (I)

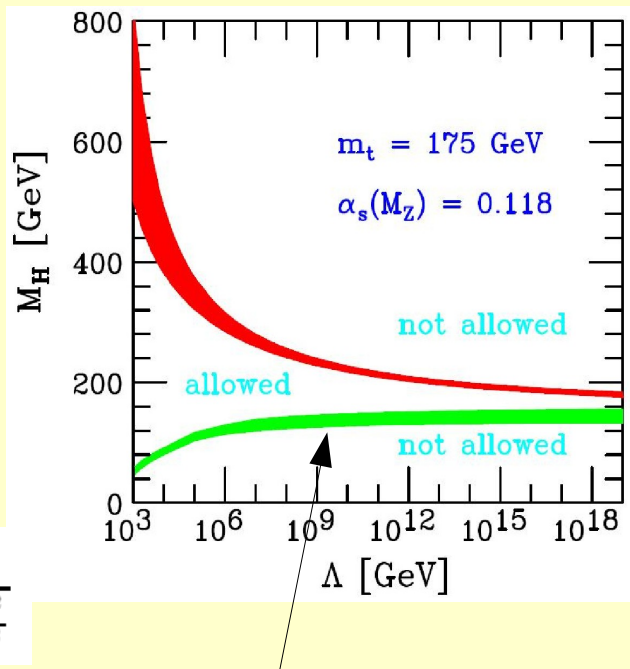
M_H : quelles contraintes ?

- Paramètre libre du MS : $M_H^2 = \lambda v^2$
- Unitarité : $M_H = 2\sqrt{2\pi/G_F} < (850 \text{ GeV})^2 \sim (1 \text{ TeV})^2$

Auto-couplage λ

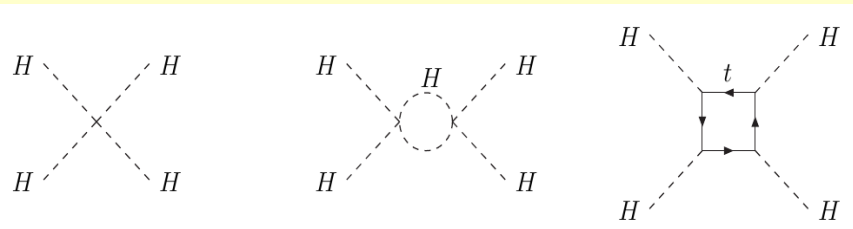
- Boucles Higgs: $\lambda \nearrow$, boucles top: $\lambda \searrow$
- Renormalisation: $\lambda = \lambda(\mu^2)$:

$$\lambda(\mu^2) = \frac{\lambda(v^2)}{1 - \frac{3\lambda(v^2)}{8\pi^2} \log \frac{\mu^2}{v^2}}$$



cf. aussi: <http://arXiv.org/abs/0802.4423v1>

- $\lambda(\Lambda) < \infty \Rightarrow M_H^2 \lesssim \frac{8\pi^2 v^2}{3 \log(\Lambda^2/v^2)}$
- Si m_{top} est trop grande : $\lambda < 0 \Rightarrow$ vide est instable ! $M_H > M_{\min}(\Lambda)$



$\Lambda = 1 \text{ TeV},$	$60 < M_H < 700 \text{ GeV}$
$\Lambda = 10^{19} \text{ GeV (GUT)},$	$130 < M_H < 190 \text{ GeV}$

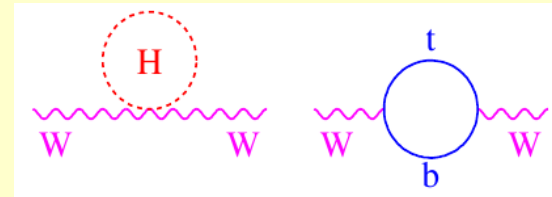
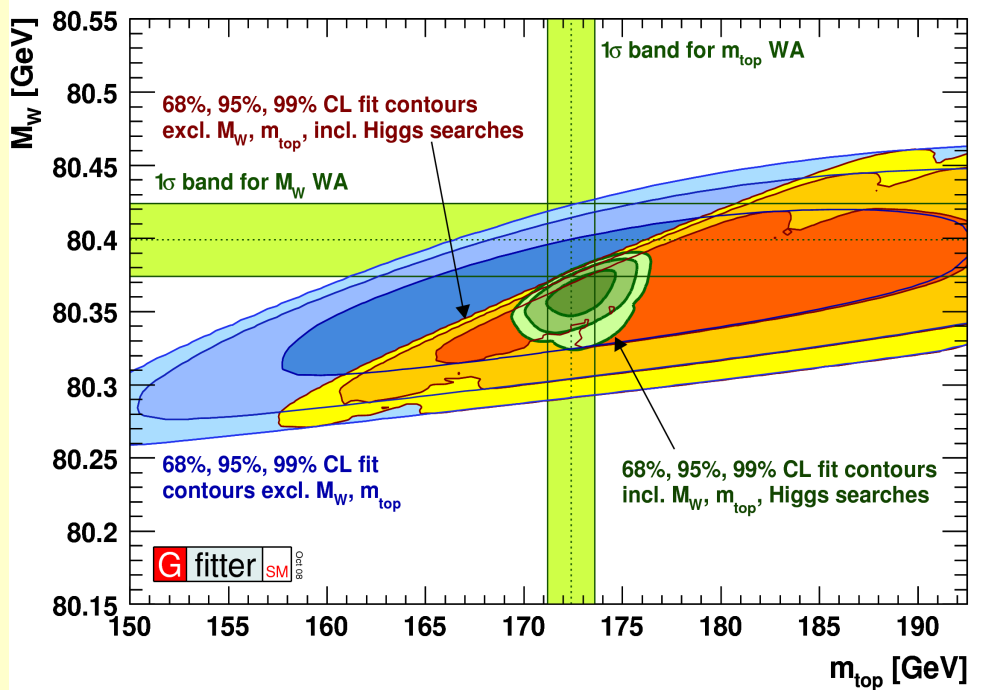
Contrainte sur la masse du Higgs (II)

Mesures de précisions

- Corrections radiatives :

$$\frac{G_F}{\sqrt{2}} = \frac{2\pi\alpha}{\sin^2 2\theta_W M_Z^2} [1 + \Delta r_\alpha + \Delta r_t + \Delta r_H]$$

- A l'ordre 0 : $\Delta r_H = \frac{G_F M_Z^2 (1 + 9 \sin^2 \theta_W)}{24\sqrt{2}\pi^2} \log \frac{M_H^2}{M_W^2} + \dots$



Le MS avec un boson de Higgs (*léger*) est compatible avec les mesures de précision électro-faible

Note :
moyenne du Tevatron :

$\Delta M_t = 1.2 \text{ GeV}$
 $\Rightarrow \Delta M_W = 7 \text{ MeV}$ nécessaire

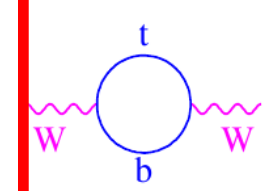
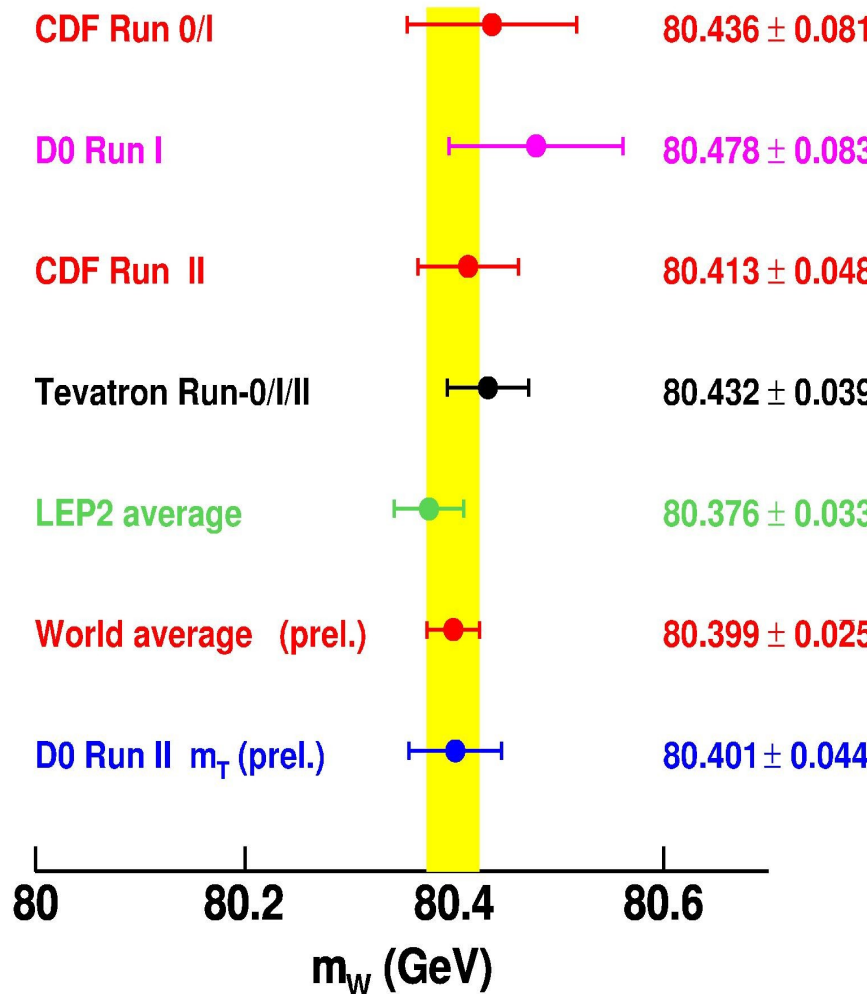
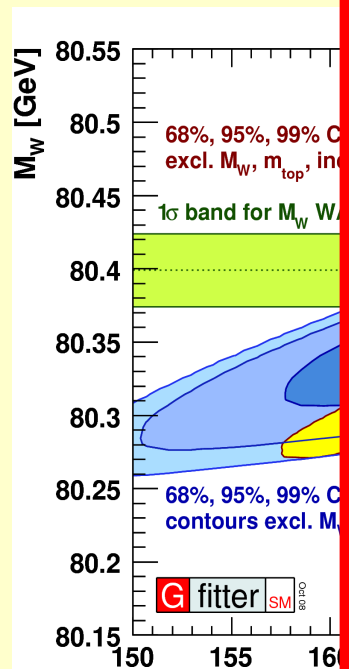
Contraintes sur la masse du Higgs (II)

Mesures de

- correction

$$\frac{G_F}{\sqrt{2}} = \frac{1}{\sin^2 \theta_W}$$

- A l'ordre 0



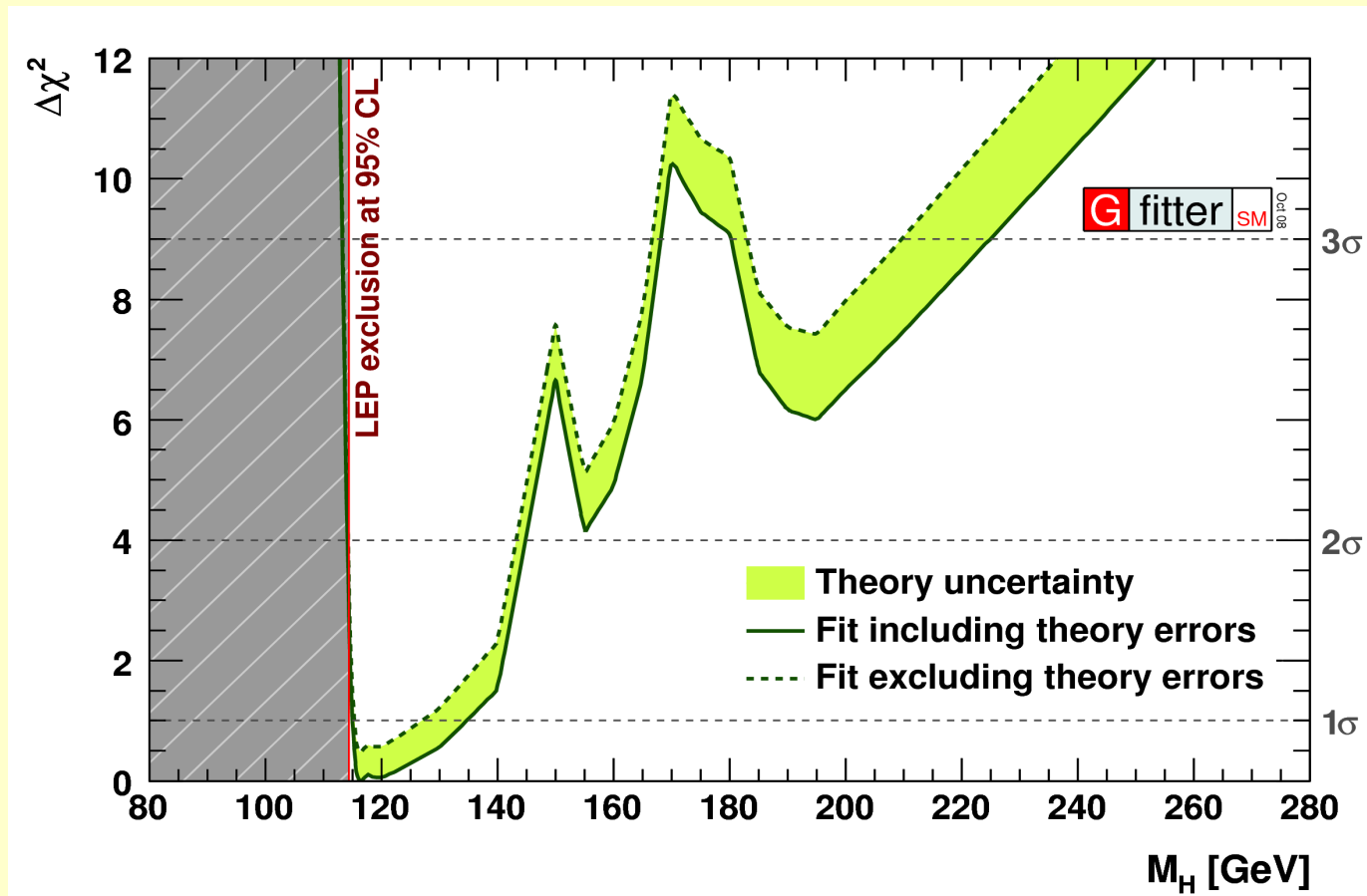
oson de Higgs
patible avec les
ision electro-

!! Une erreur combinée (D0,CDF) de
~15 MeV est envisageable au RunII !!

Contraintes sur la masse du Higgs (III)

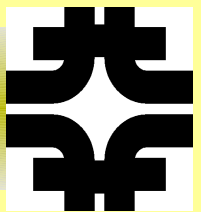
Mesures de précisions

- $M_H = 116.4 \text{ GeV}$ (*LEP + TeVatron incl. } M_\nu \text{ recherches directes }*)



La recherche du boson de Higgs au TeVatron

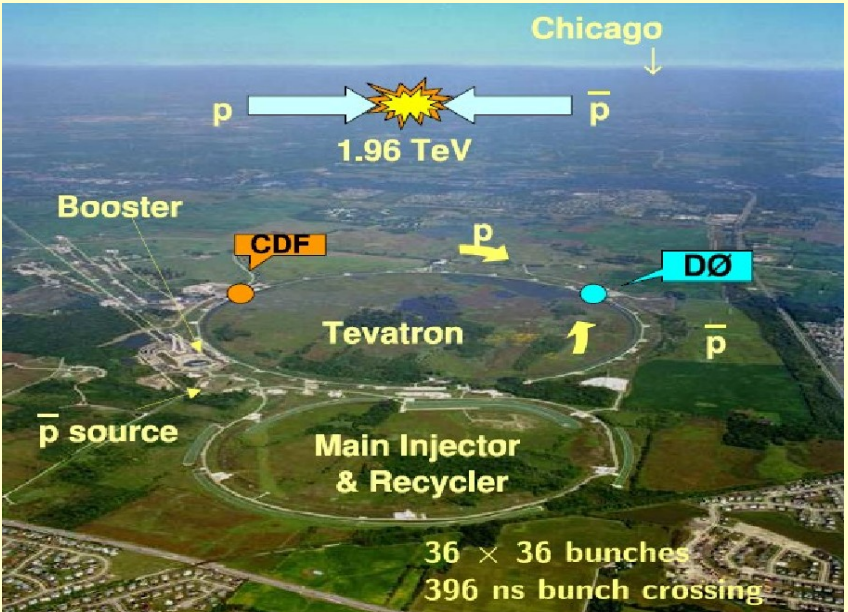
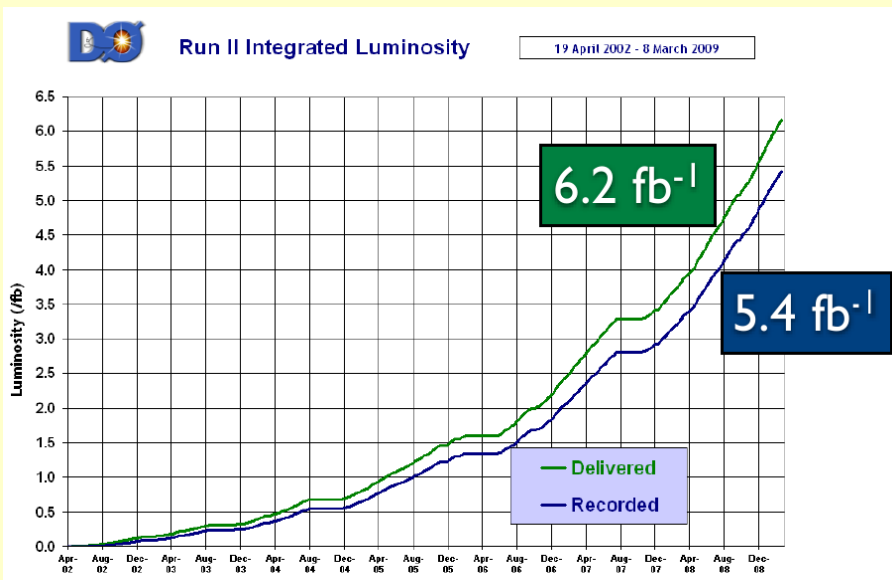
TeVatron



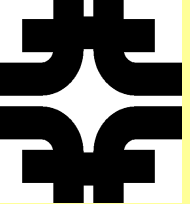
- Collisions proton-anti-proton @ 1.96 TeV (*Run II, démarrage en 2001*)
- Accélérateur très performant
- Record de luminosité instantanée, Janvier 09 :
 $3.5 \times 10^{32} \text{ cm}^{-2} \text{ s}^{-1}$
- **6 fb⁻¹** livrées par expérience

Rappel: objectif initial Run II: 4-8 fb⁻¹

- CDF et DØ ont **> 5 fb⁻¹** sur bandes



TeVatron



- Collisions proton-anti-proton @ 1.96 TeV (*Run II, démarrage en 2001*)

- Accélérateur

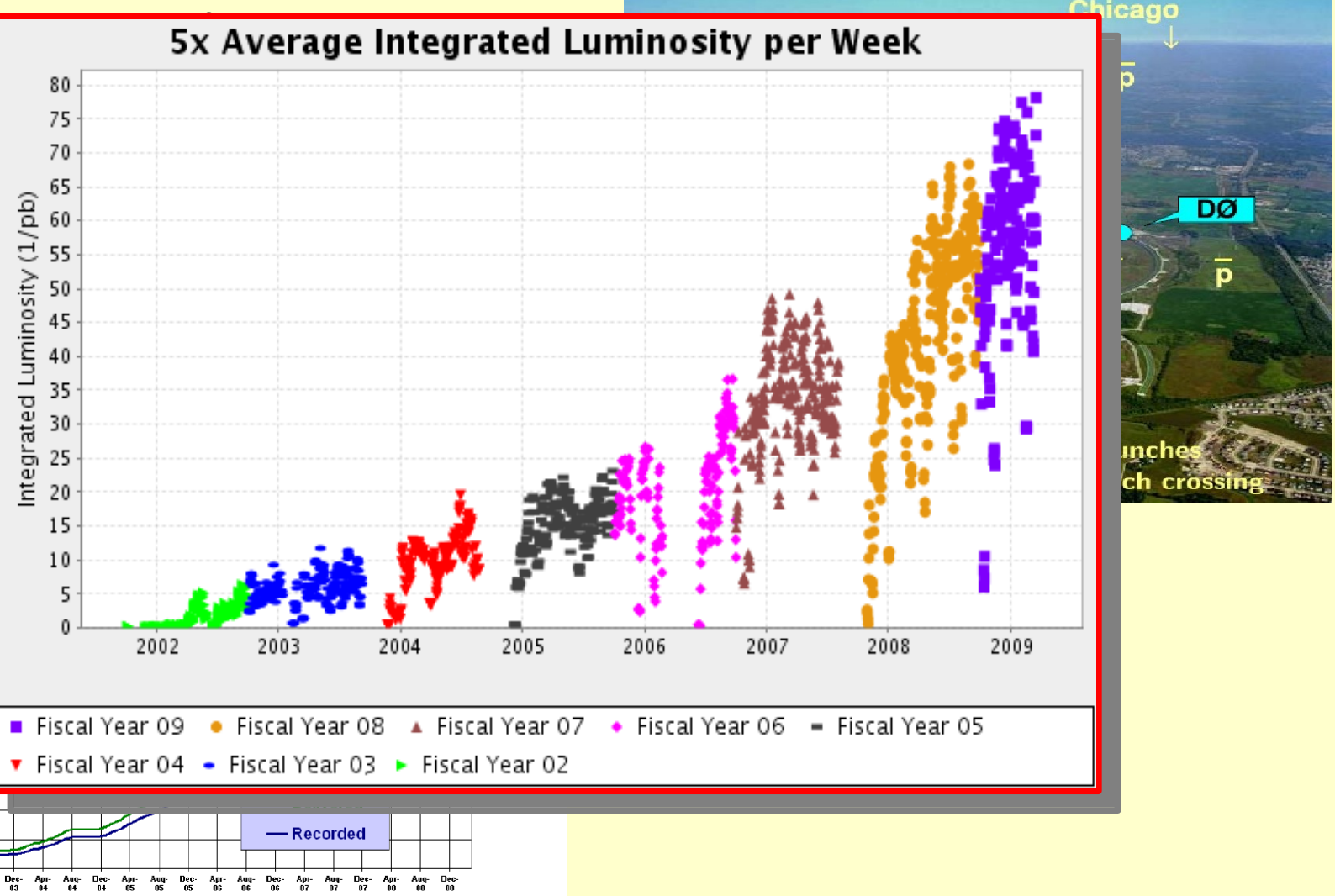
- Record de luminosité
3.5 x

- **6 fb^{-1}** délivré

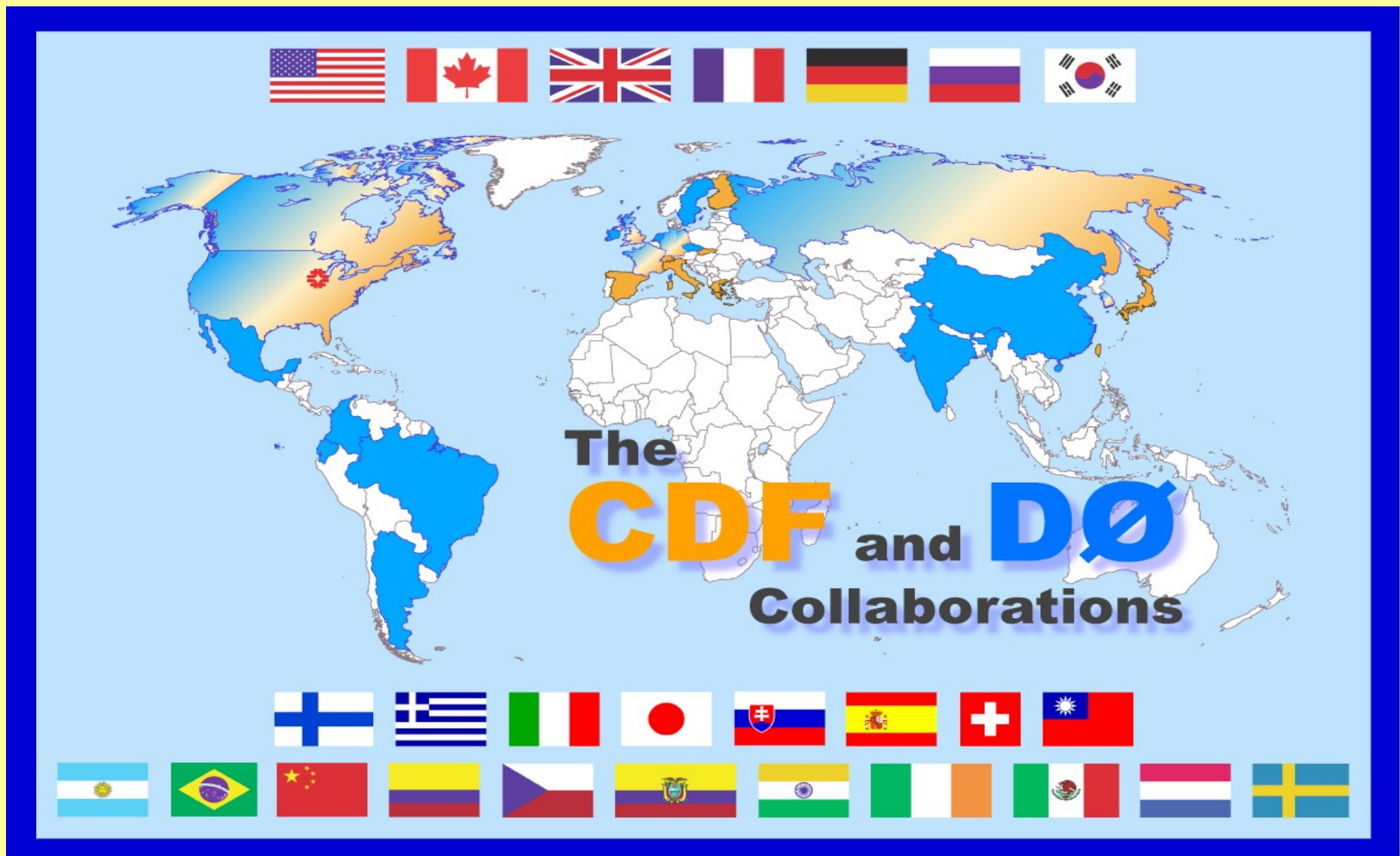
Rappel:

- CDF et **DØ**

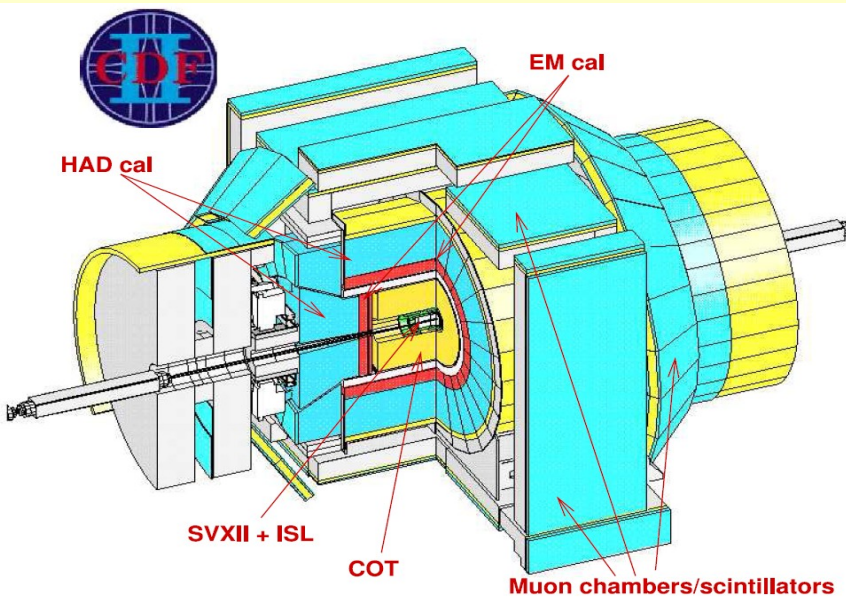
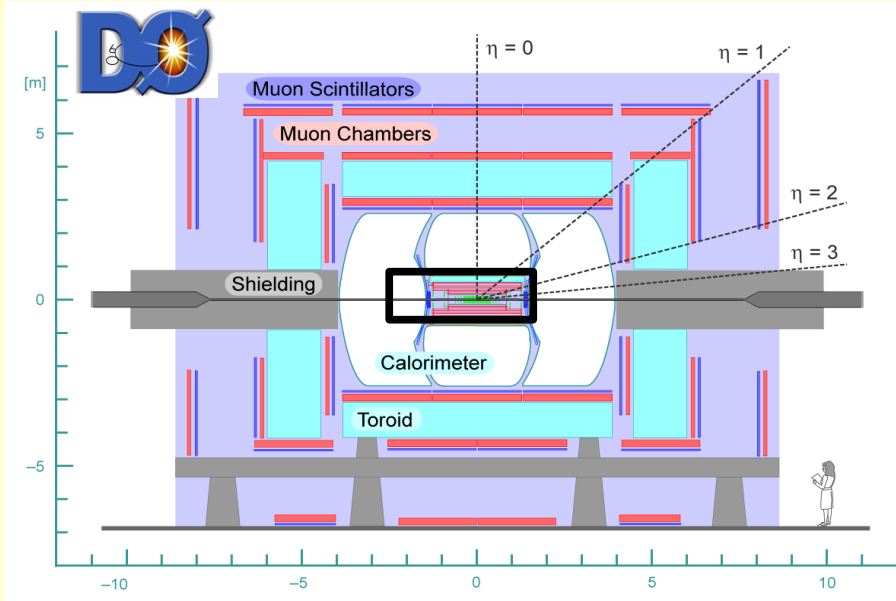
DØ Run II



Les collaborations DØ et CDF



Les détecteurs DØ et CDF



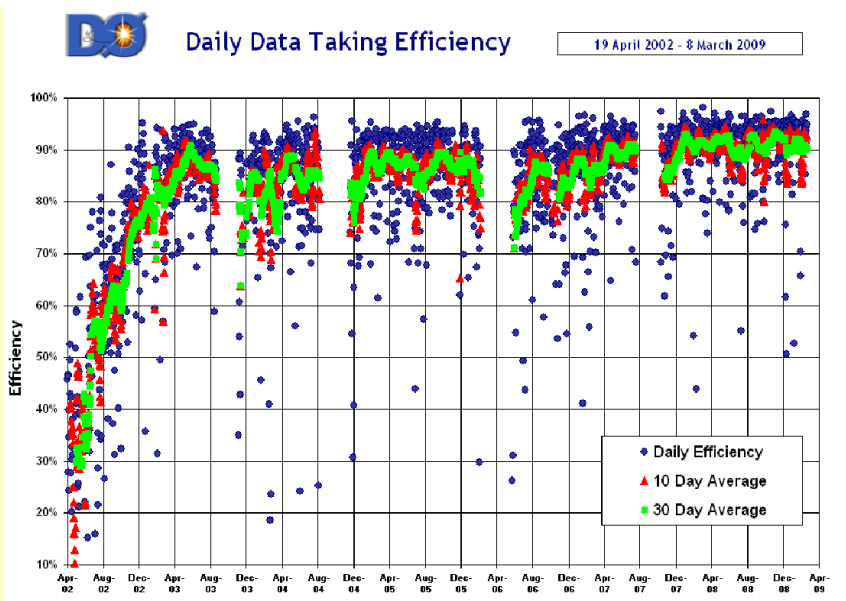
Trajectographe silicium (SMT)

- 6 tonneaux de 4 couches, $z \sim 1$ m
- $|\eta| < 2.5$ (CDF: 2)
- Nouvelle couche 0 @ $r = 1.6$ cm

Détecteur à fibres scintillantes (CFT)

- 8 couches (axial & stereo)
- $20 < r < 51$ cm dans 2T

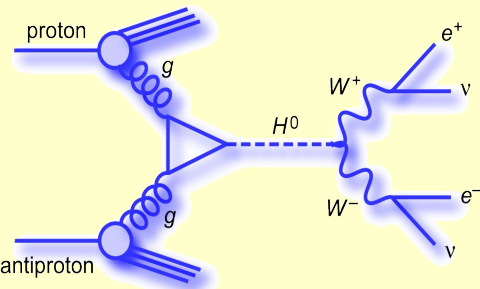
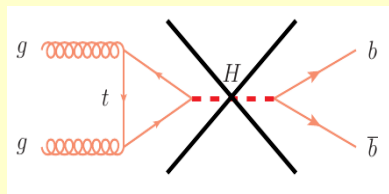
Système muon, $|\eta| < 2$ (CDF < 1)



Higgs: productions et désintégrations

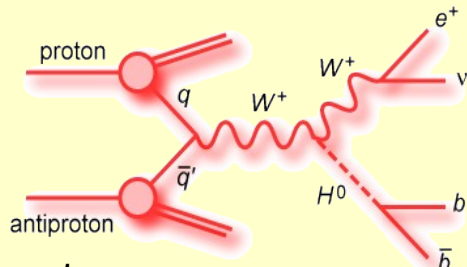
Higgs “léger” ($<135 \text{ GeV}$), “lourd” ($>135 \text{ GeV}$)

- Fusion gg**: désintégrations en bb noyée dans fond QCD bb ($\sim x10^6$); canal $H \rightarrow WW$



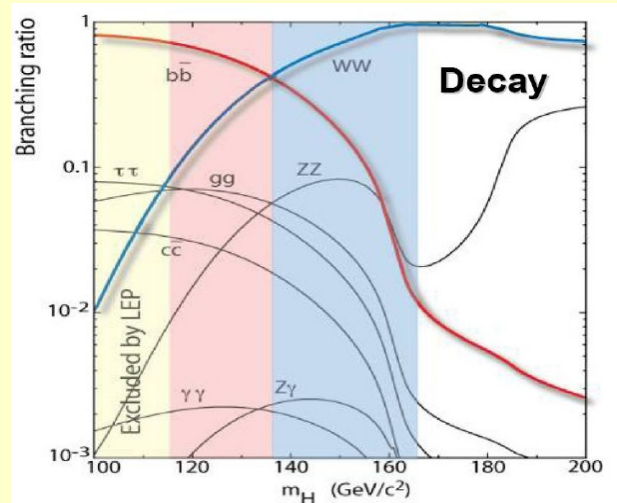
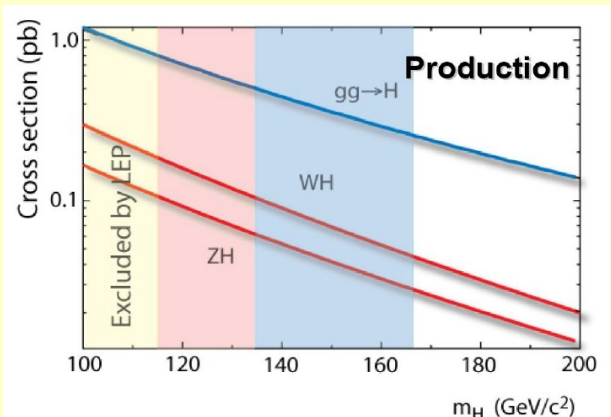
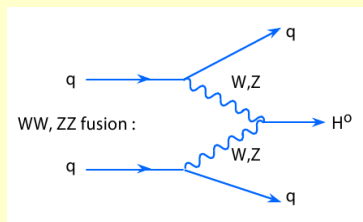
- Production associée, $(W/Z)H$**

- “golden” mode basse masse ! $H \rightarrow bb, \tau\tau$



- Fusion bosons vecteurs**

- très faible (*mais ok au LHC*)

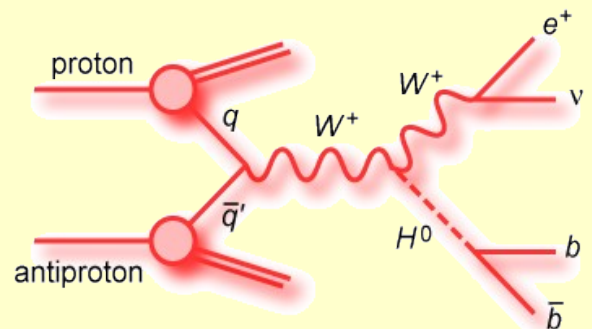


La recherche du boson de Higgs *léger*

Le canal ($W \rightarrow l\nu$)($H \rightarrow b\bar{b}$)

Golden Channel !

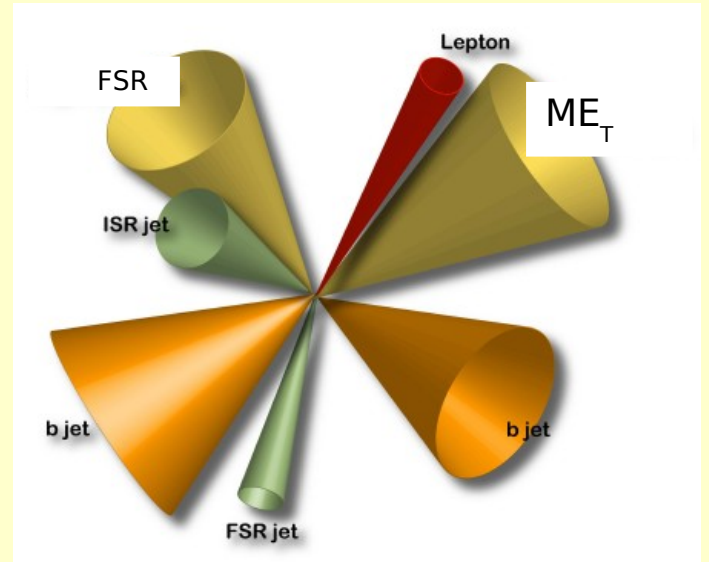
- $90 < M_H < 150$ GeV
- Bruits de fond *raisonnables*



Topologie & sélection

- 1 lepton *isolé* (e, μ), $E_T \geq 20$ GeV
- Energie transverse manquante ≥ 20 GeV (ME_T)
- ≥ 2 jets calorimétriques, $E_T \geq 25(20)$ GeV + $H_T > 60$ GeV

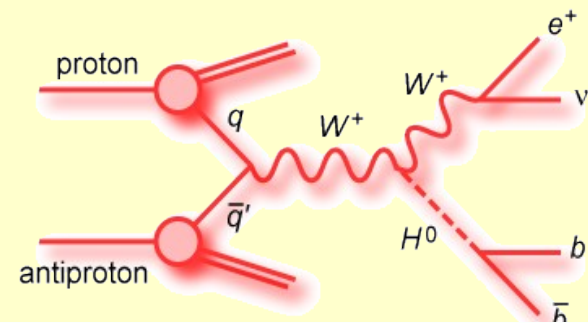
⚡ **$S/B \sim 1:3000$**



Le canal ($W \rightarrow l\nu$)($H \rightarrow bb$)

Golden Channel !

- $90 < M_H < 150$ GeV
- Bruit de fond *raisonnable*,



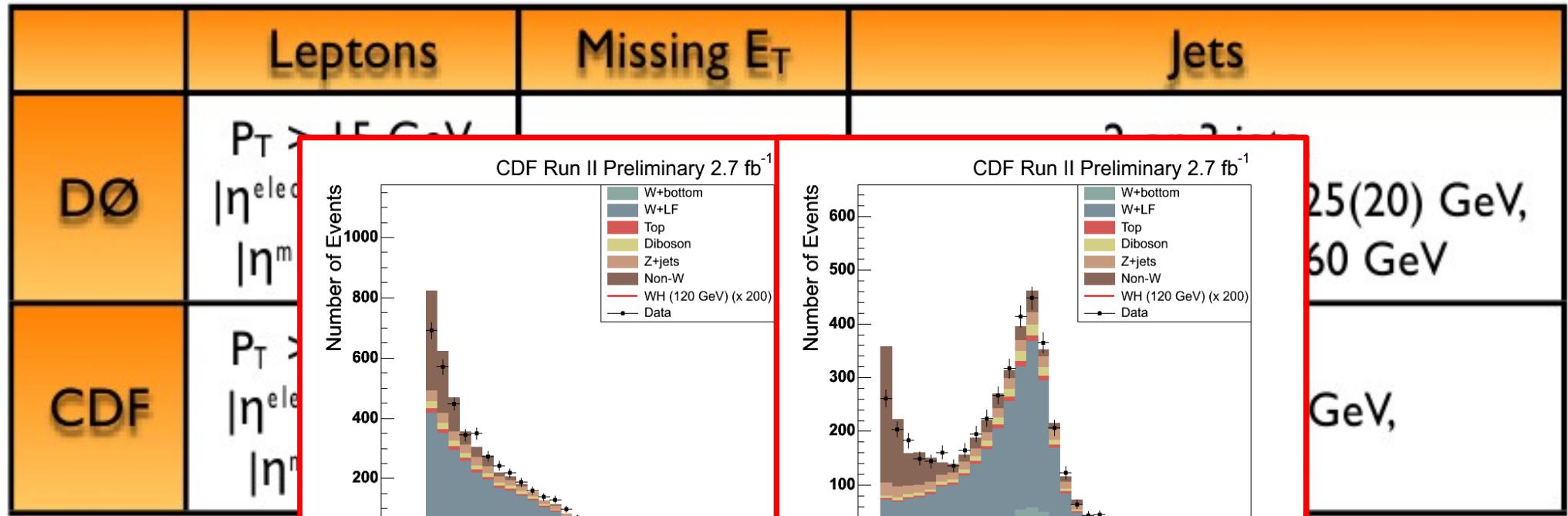
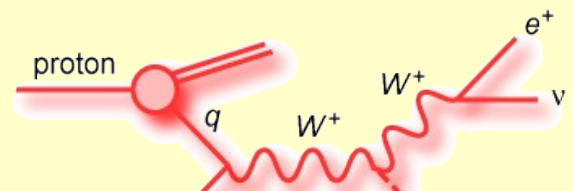
	Leptons	Missing E_T	Jets
DØ	$P_T > 15$ GeV, $ \eta^{\text{electron}} < 2.5$, $ \eta^{\text{muon}} < 2.0$	$M E_T > 20$ GeV	2 or 3 jets, (sub-)leading jet $P_T > 25(20)$ GeV, $ \eta^{\text{jet}} < 2.5$, $H_T > 60$ GeV
CDF	$P_T > 20$ GeV, $ \eta^{\text{electron}} < 2.0$, $ \eta^{\text{muon}} < 1.0$	$M E_T > 20$ GeV	2 jets, all jets $P_T > 20$ GeV, $ \eta^{\text{jet}} < 2.0$

FSR jet

Le canal ($W \rightarrow l\nu$)($H \rightarrow bb$)

Golden Channel !

- $90 < M_H < 150 \text{ GeV}$

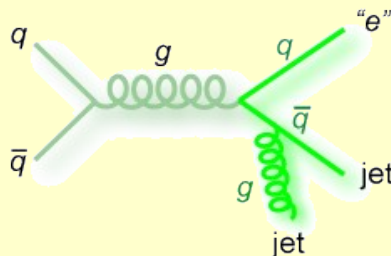


Gain d'eff. signal $\sim 20\%$ avec trace isolée

Bruits de fond (I)

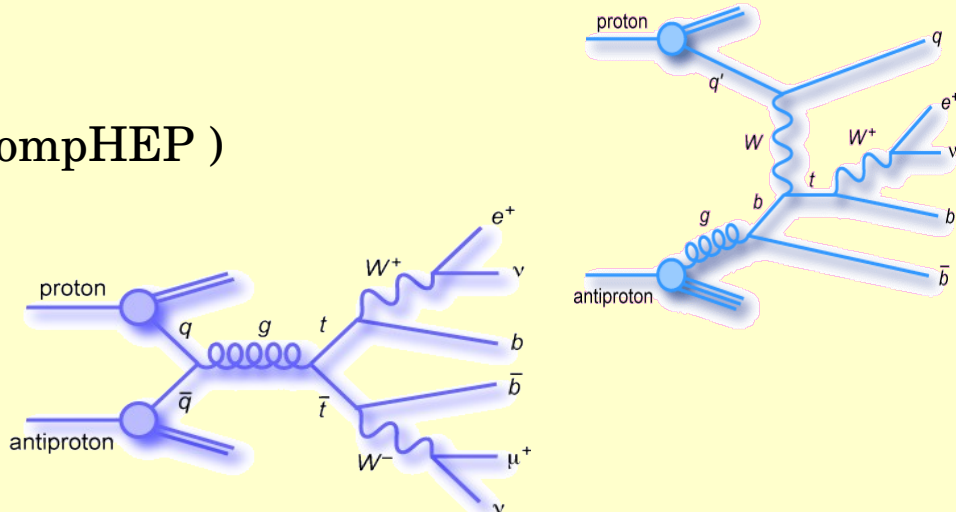
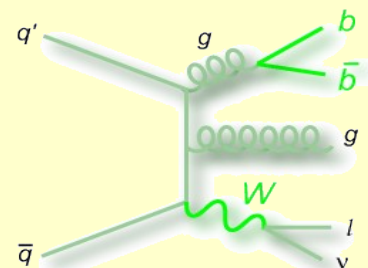
Instrumental

- **Multi-Jets** : “faux” leptons
- Données réelles



Physiques

- **V+jets** : $W/Z+jets$ (*faux b-jets*), $W/Z+b(c)$
 - Alpgen+Pythia
-
- **Top** : paires et single-top (CompHEP)
 - **Di-bosons**: VV (Pythia)



Bruits de fond (II)

1) QCD

- Evalué dans un lot d'événements avec la *même préselection (lâche) topologique* + critère d'isolation des leptons *inversé*
- Mesure l'efficacité QCD et signal (*i.e.* W) critère isolation *lâche <--> dure* (ex. *vs.* lepton E_T)

2) V(W/Z)+jets

- Lots MC normalisés aux *données réelles* (après soustraction tt, st, VV)
 - Scale Factor NLO/LO pour W + saveurs lourdes

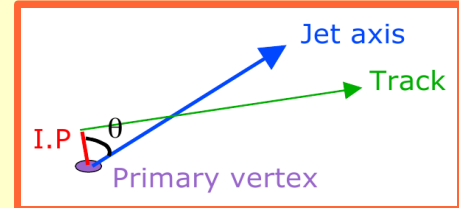
3) Identification des jets de b

- Lot de données “*orthogonaux*” :
 - a) 2 b “lâches”
 - b) !a) + 1 b dur + 1 b lâche
 - c) !(a&b) + 1 b dur

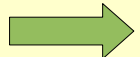
Identification des saveurs lourdes (I)

Discriminant à paramètre d'impact

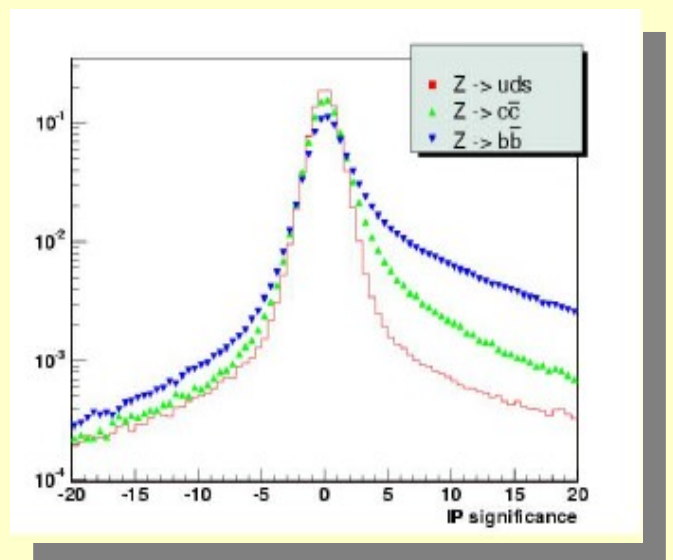
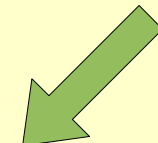
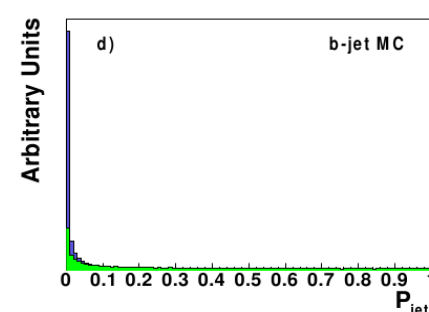
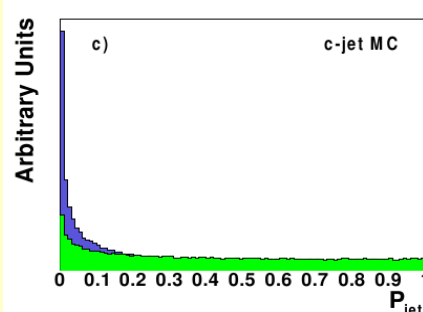
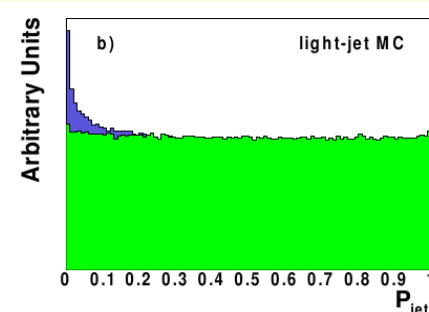
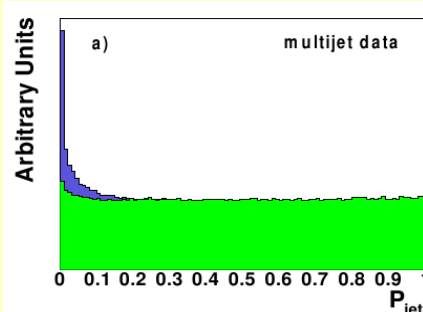
- **Discret** : **CSIP**, compte les traces $S_{IP} > S_0$ ($S_{IP} = IP/\sigma_{IP}$)
- **Continu** : **JLIP**, construit à partir des fonctions de résolutions, $R(s)$, des traces avec $S_{IP} < 0$



$$\mathcal{P}_{trk}(S_{IP}) = \frac{\int_{-50}^{-|S_{IP}|} \mathcal{R}(s) ds}{\int_{-50}^0 \mathcal{R}(s) ds}$$

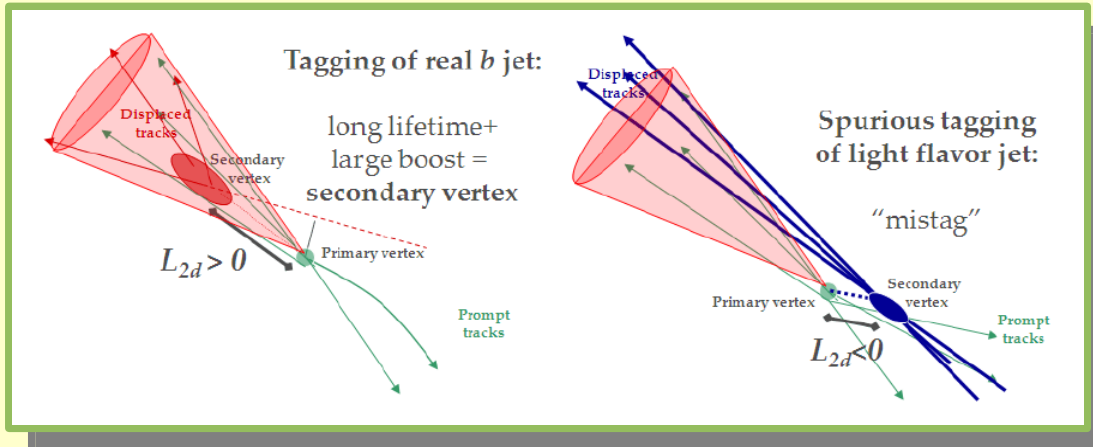


$$\mathcal{P}_{jet}^\pm = \Pi^\pm \times \sum_{j=0}^{N_{trk}^\pm - 1} \frac{(-\log \Pi^\pm)^j}{j!} \quad \text{with} \quad \Pi^\pm = \prod_{i=1}^{N_{trk}^\pm} \mathcal{P}_{trk}(S_{IP<0}^i)$$

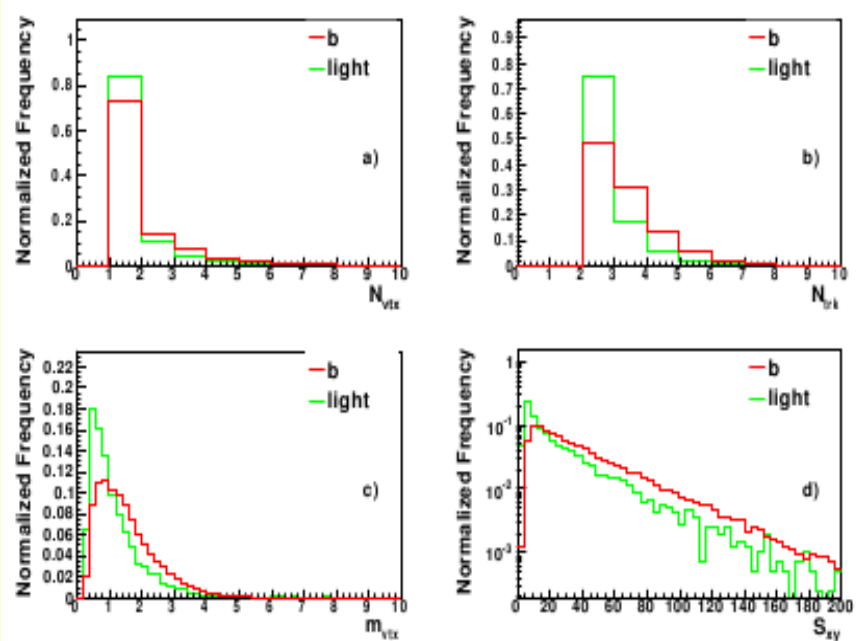


Identification des saveurs lourdes (II)

Vertex secondaire, SVT



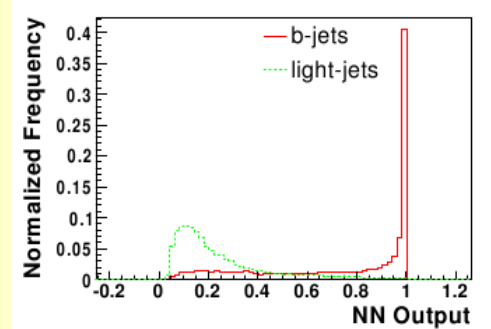
- Formation de jets de traces (*type “simple cone”*)
- Recherche de vertex déplacé avec un filtre de Kalman
- “Elagage” des traces à forte contribution au χ^2 du vertex
- Jet identifié si :** $\Delta R(\text{vertex,jet}) < 0.5$ et si la significance de la distance de vol, $S_{\text{Lxy}} > S_0$



Identification des saveurs lourdes(III)

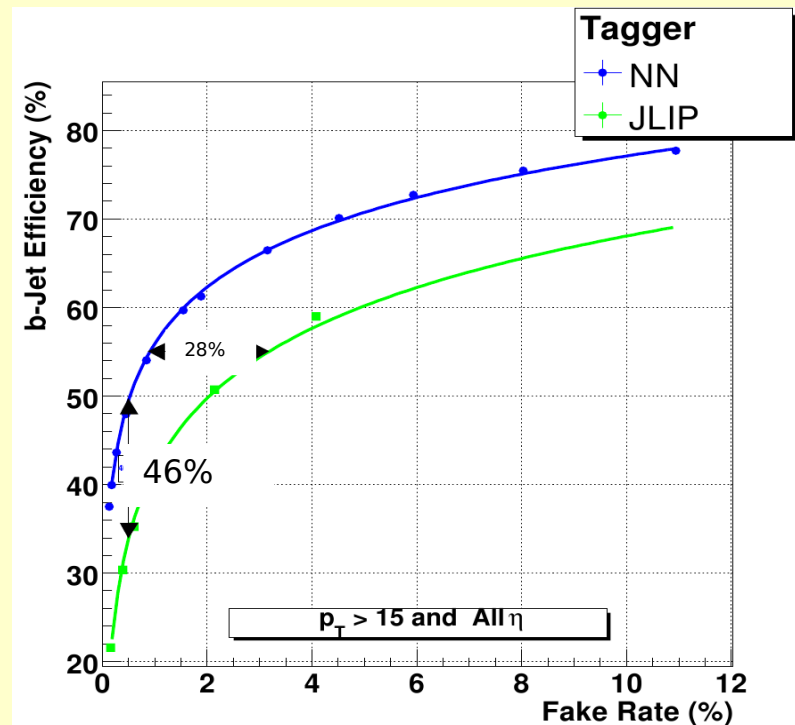
Combinaison / Optimisation

- discriminants de vertex secondaire et de paramètre d'impact sont combinés dans un reseau de neurone (D0)



Performances

- D0:** 50-70% signal / 0.3-4.5% b.d.f
- CDF:** 40-50% signal / 0.5-1.5% b.d.f



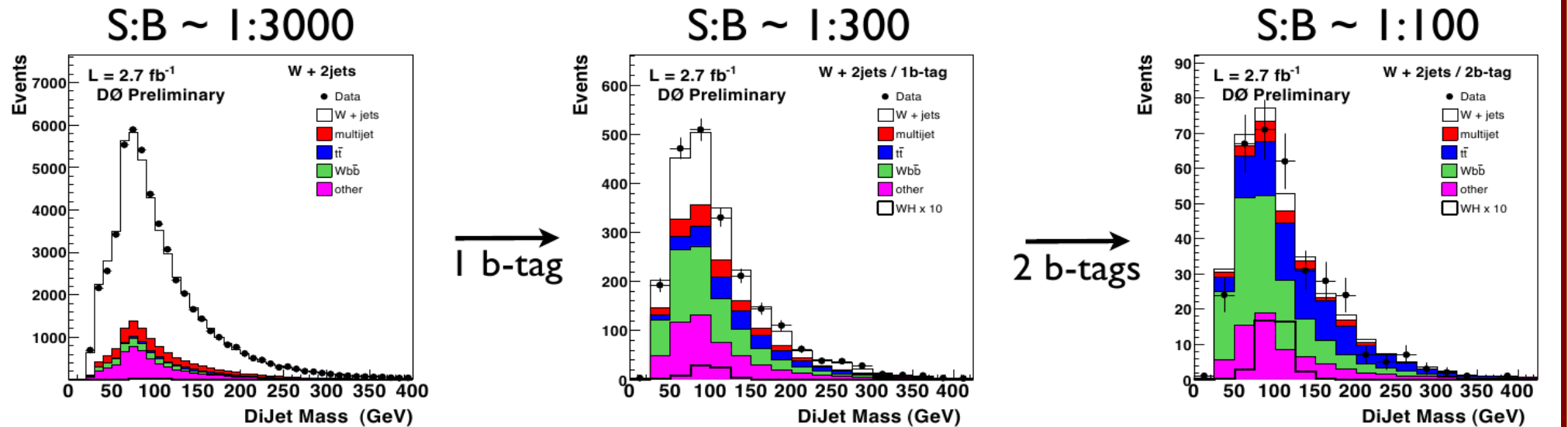
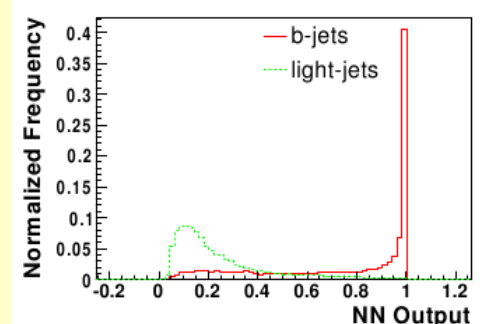
Identification des saveurs lourdes(III)

Combinaison / Optimisation

- discriminants de vertex secondaire et de parametres d'impact sont combines dans un reseau de neurone (D0)

Performances

- D0:** 50-70% signal / 0.3-4.5% b.d.f
- CDF:** 40-50% signal / 0.5-1.5% b.d.f

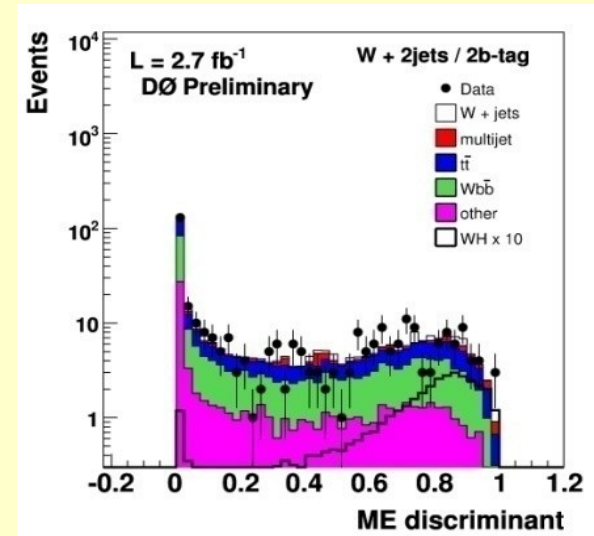
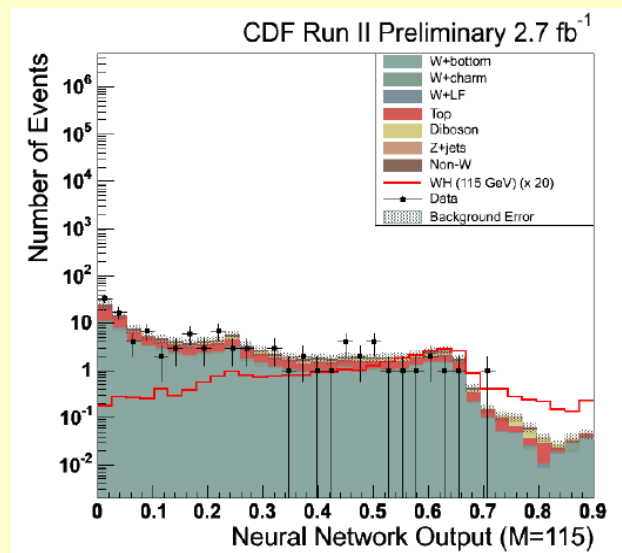


Optimisation

Techniques multivariées

- D0 et CDF entraînent des réseaux de neurones (NN) pour chaque hypothèse de masse
 - ↳ gain de **15-20%** en sensibilité par rapport à la variable de masse du système di-jet seul
- *Méthode des éléments de matrice* dans le NN
 - ↳ Définit une probabilité d'événement en utilisant les éléments de matrices à l'ordre 0

$$P_{\text{WH}}(x) = \frac{1}{\sigma} \sum_{i,j} \underbrace{\int_y f_i(q_1) f_j(q_2)}_{\text{PDF}} \times \underbrace{\frac{d\sigma_{\text{WH}}}{dy}}_{\text{ME}} \times \underbrace{W(x,y)}_{\text{Detector Response}}$$

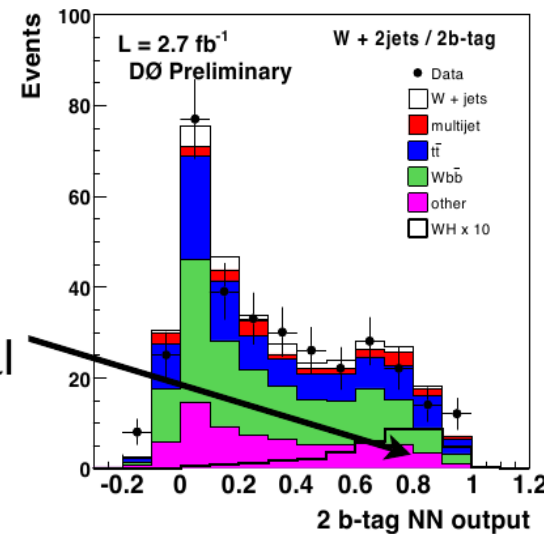
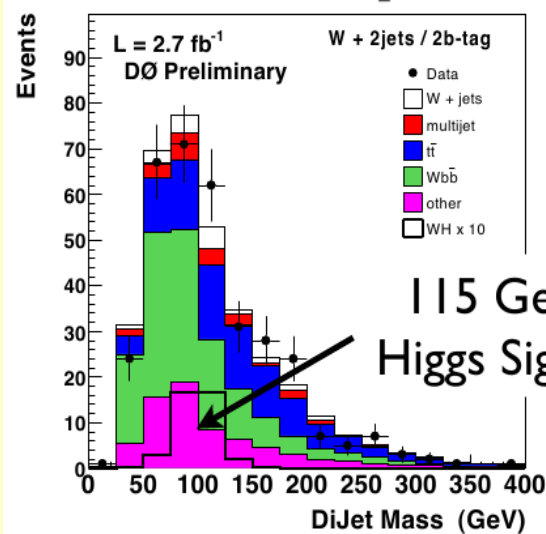


Résultats

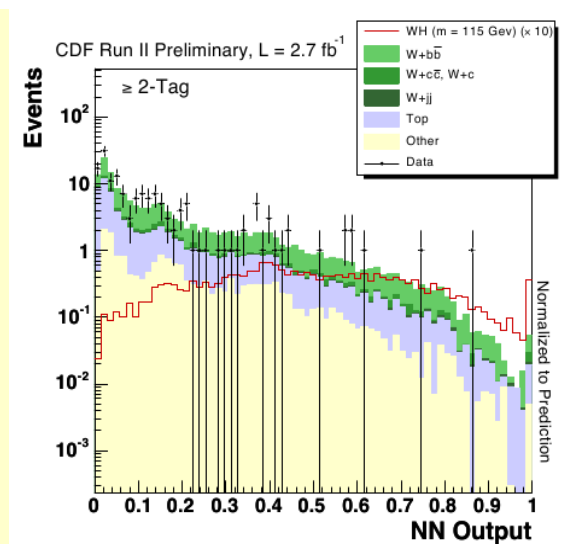
Resultats

- Aucun excès n'est observé dans les données
- La sortie des réseaux de neurones sont utilisées pour l'extraction de limites
- Avec une luminosité de 2.7 pb:

M_H = 115 GeV
Exp: 6.4 Obs: 6.7



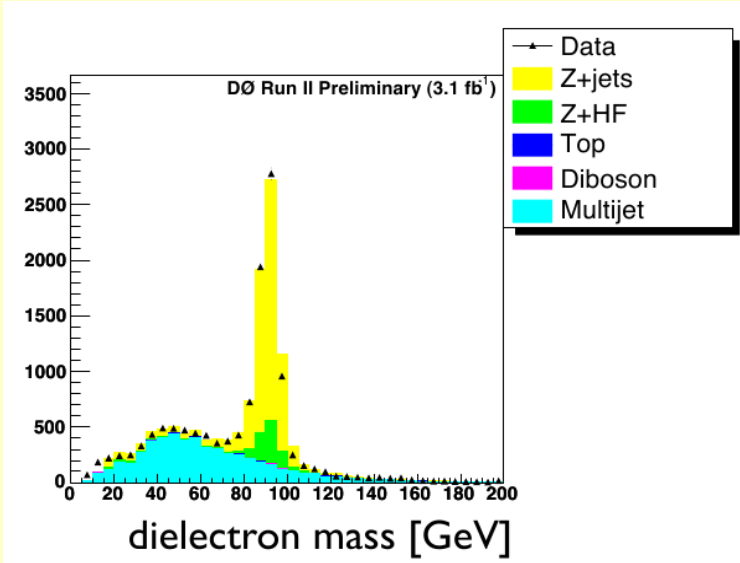
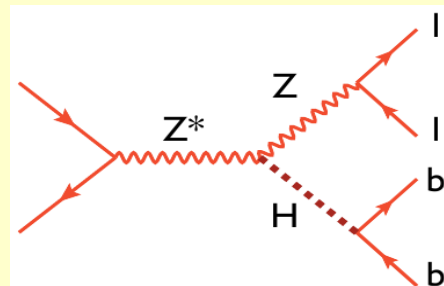
M_H = 115 GeV
Exp: 4.8 Obs: 5.6



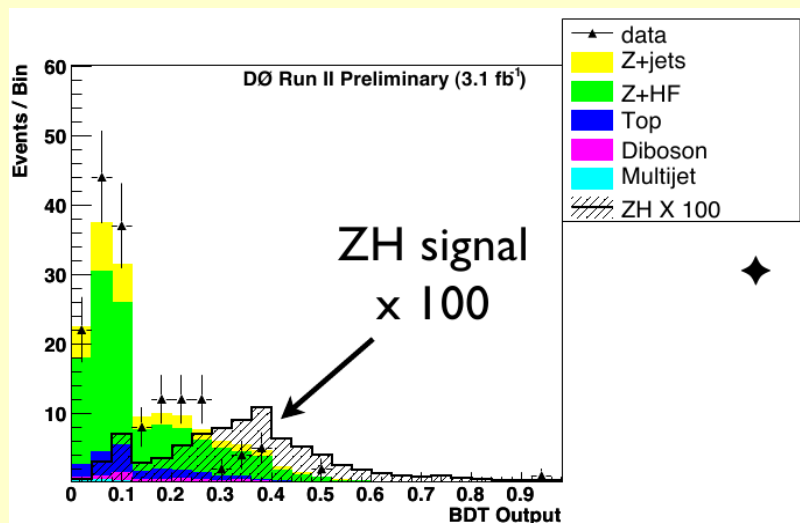
ZH \rightarrow llbb

Topologie

- Bruits de fond:** Z+jets, multijet, top
- CDF:** 2.7fb^{-1} , **D0:** $3.1\text{-}4.2\text{fb}^{-1}$



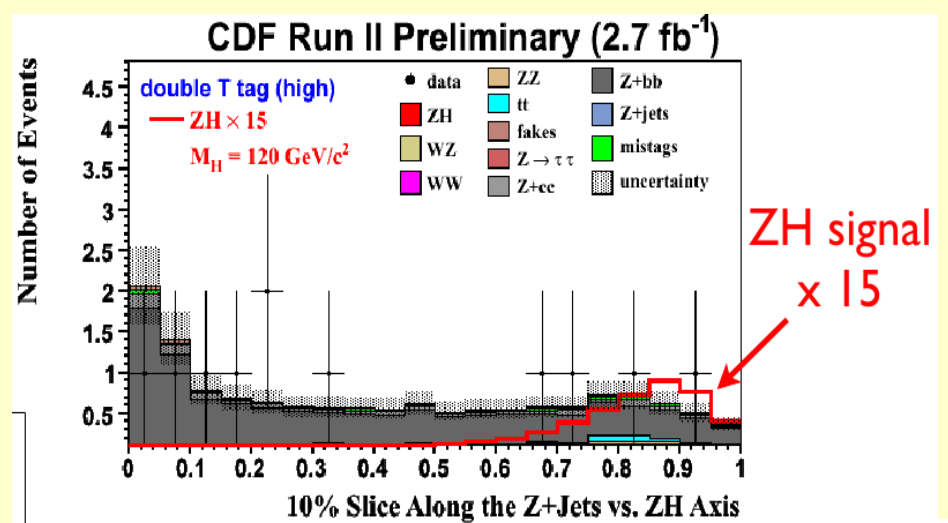
D0: arbre de decision / canal



$M_H = 115 \text{ GeV}$

Exp: 8.0 Obs: 9.1, 5/15/09

CDF: NN 2D (Zbb/tt)



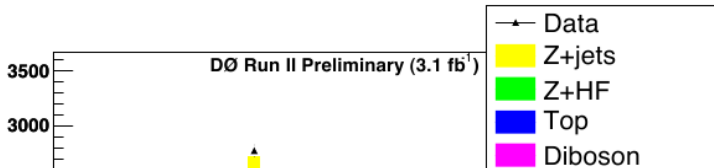
$M_H = 115 \text{ GeV}$

Exp: 9.9 Obs: 7.1

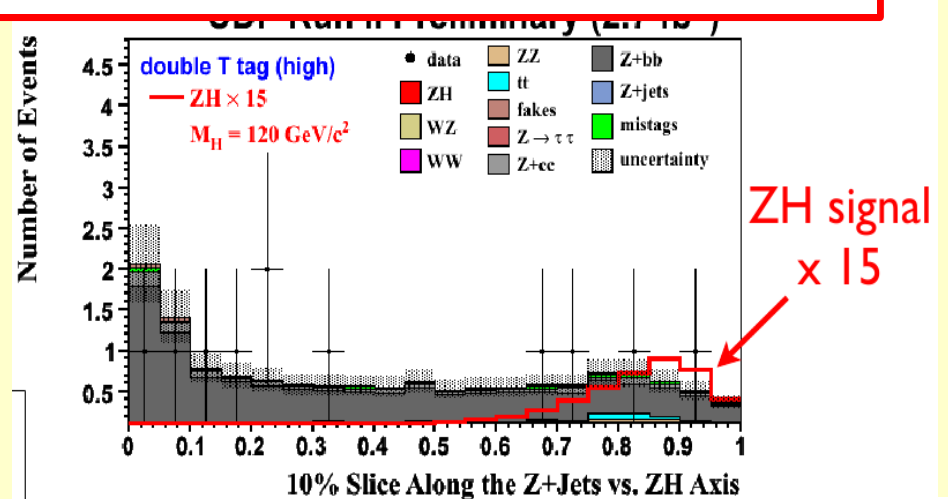
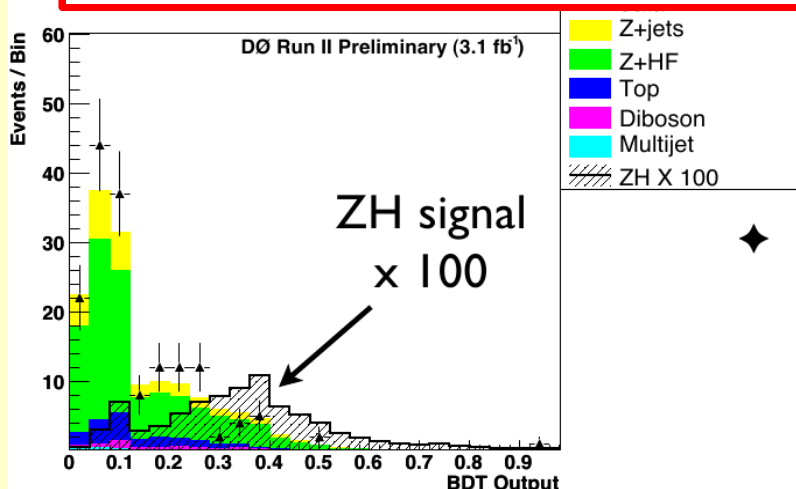
ZH \rightarrow llbb

Topologie

- Bruits de fond: Z+jets, multijet, top



	Leptons	Jets
DØ	$P_T > 10 \text{ GeV}$, $ \eta^{\text{electron}} < 2.5, \eta^{\text{muon}} < 2.0$	$\geq 2 \text{ jets}$, jets $P_T > 20(15) \text{ GeV}, \eta^{\text{jet}} < 2.5$
CDF	$P_T > 18(10) \text{ GeV}$, $ \eta^{\text{electron}} < 2.8, \eta^{\text{muon}} < 2.0$	$\geq 2 \text{ jets}$, jets $P_T > (25)15 \text{ GeV}, \eta^{\text{jet}} < 2.0$



$M_H = 115 \text{ GeV}$

Exp: 8.0 Obs: 9.1, 5/15/09

30

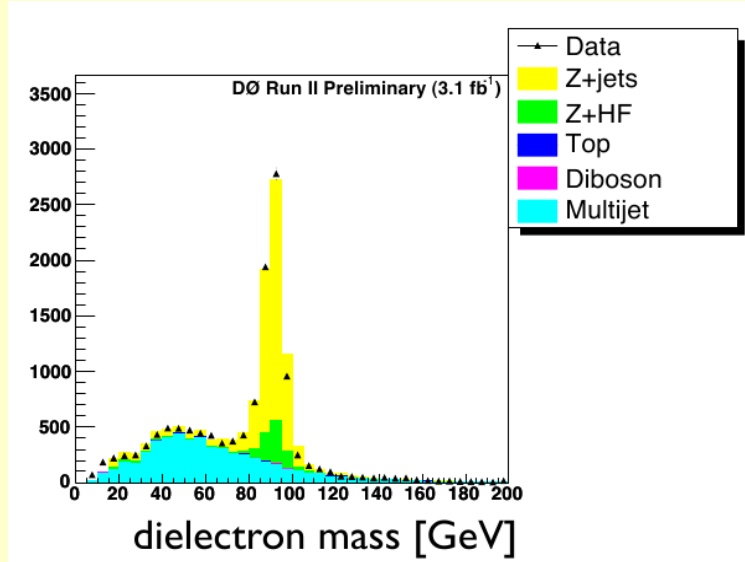
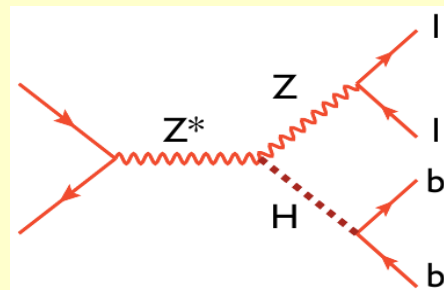
$M_H = 115 \text{ GeV}$

Exp: 9.9 Obs: 7.1

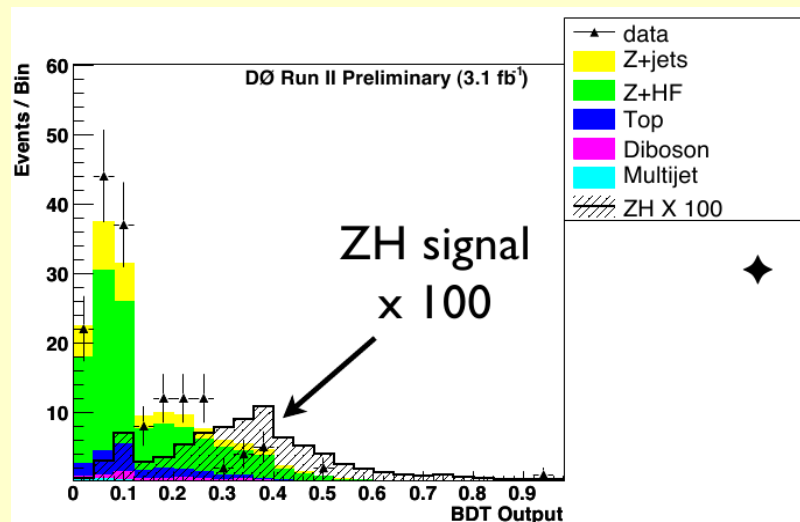
ZH \rightarrow llbb

Topologie

- Bruits de fond:** Z+jets, multijet, top
- CDF:** 2.7fb^{-1} , **D0:** $3.1\text{-}4.2\text{fb}^{-1}$



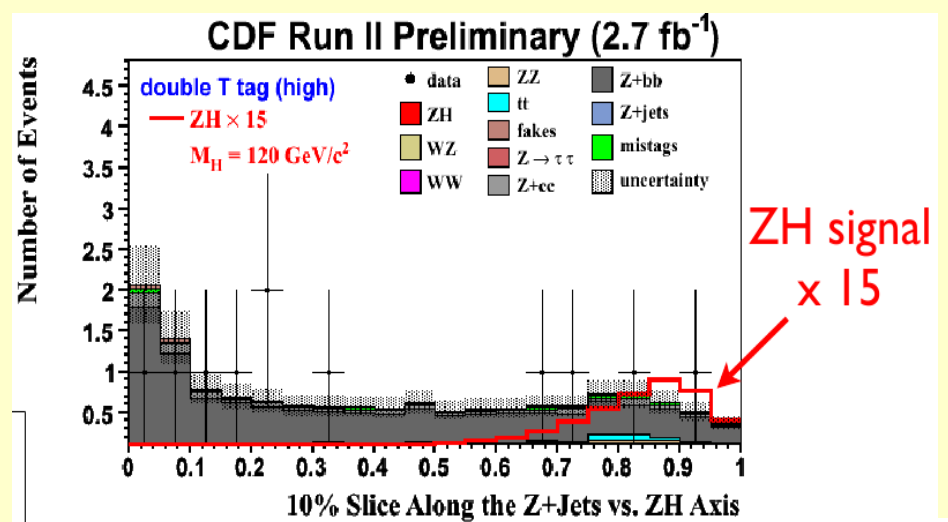
D0: arbre de decision / canal



$M_H = 115 \text{ GeV}$

Exp: 8.0 Obs: 9.1, 5/15/09

CDF: NN 2D (Zbb/tt)



31

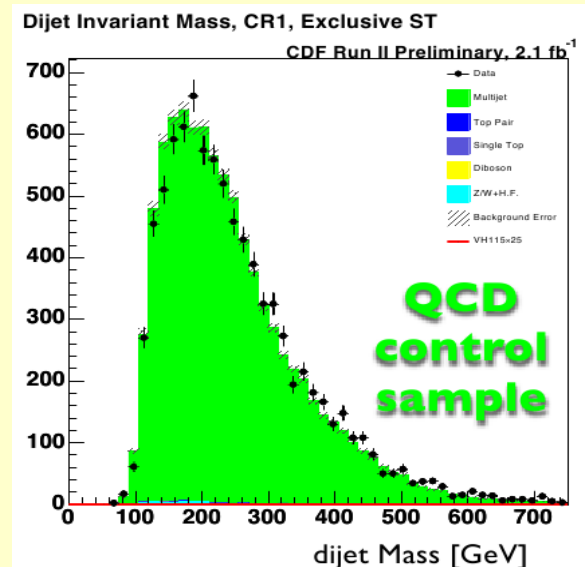
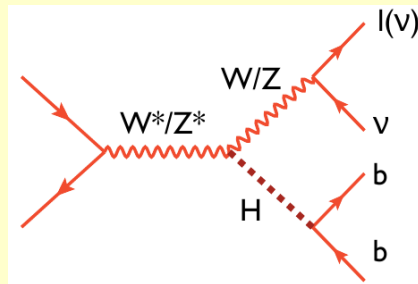
$M_H = 115 \text{ GeV}$

Exp: 9.9 Obs: 7.1

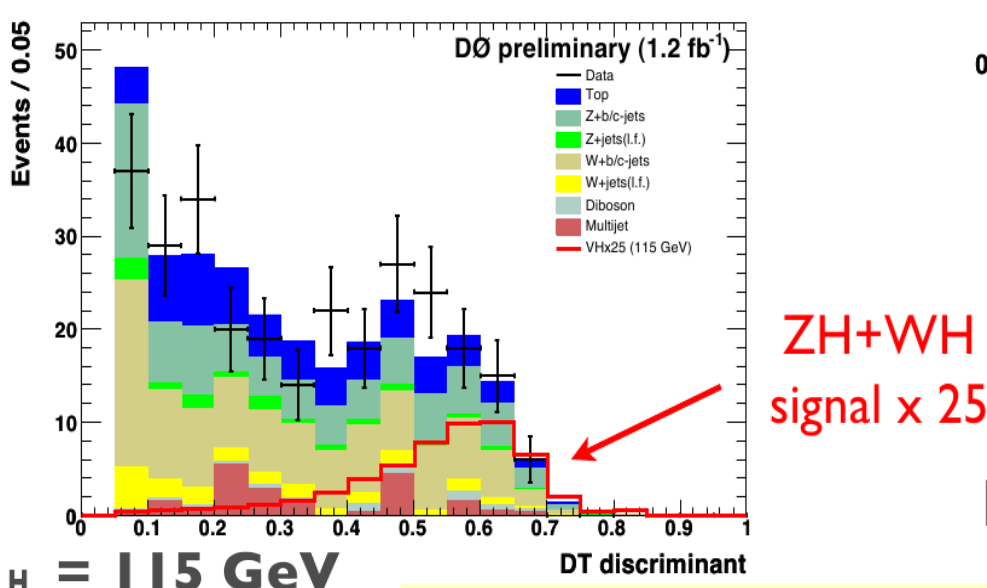
ZH $\rightarrow\nu\nu bb$

Topologie

- Bruits de fond:** QCD multijets ($*10^9$!), top, V+jets
- CDF & D0:** 2.1fb^{-1}

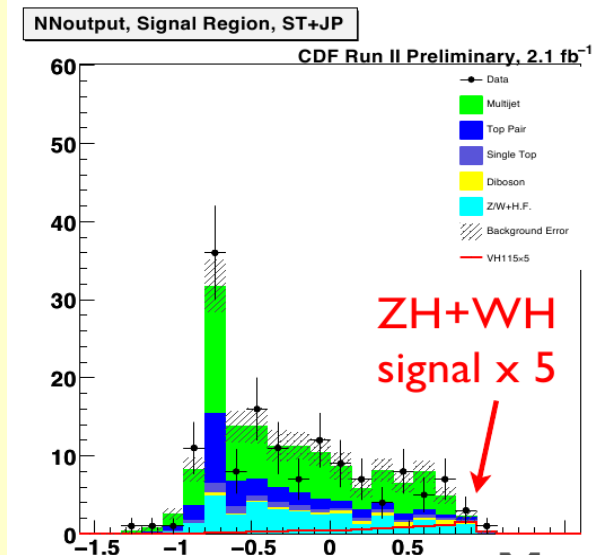


D0: arbre de décision



Exp: 8.4 Obs: 7.5 / 15 / 09

CDF: NN

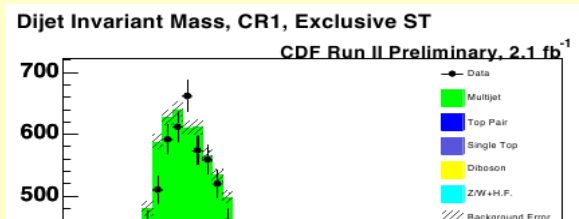


Exp: 5.6 Obs: 6.9

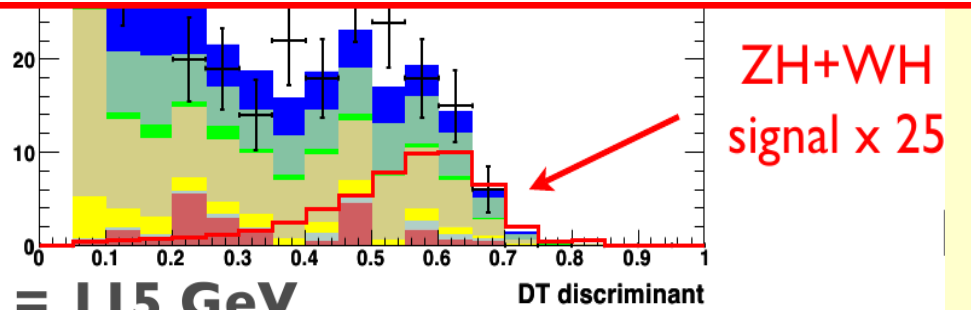
ZH $\rightarrow\nu\nu bb$

Topologie

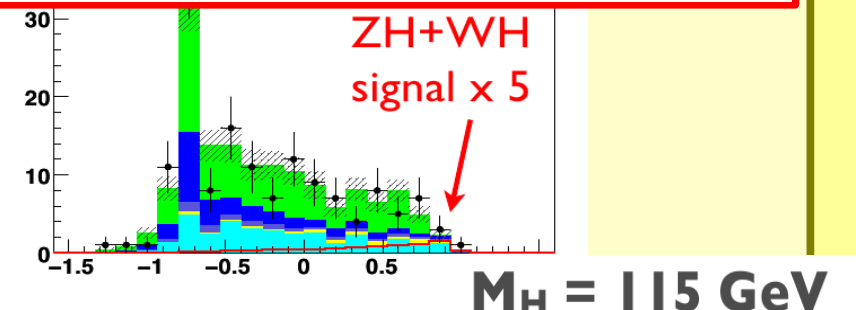
- Bruits de fond:** QCD multijets ($*10^9$!), top, V+jets



	Missing E_T	Jets
DØ	$M E_T > 50 \text{ GeV}$	≥ 2 jets, $(\Delta\Phi(\text{jet1}, \text{jet2}) < 165^\circ)$ jets $P_T > 20 \text{ GeV}, \eta^{\text{jet}} < 2.5$
CDF	$M E_T > 50 \text{ GeV}$	≥ 2 jets, jet $P_T > (35)20 \text{ GeV}, \eta^{\text{jet}} < 2.0$



Exp: 8.4 Obs: 7.5 / 15 / 09

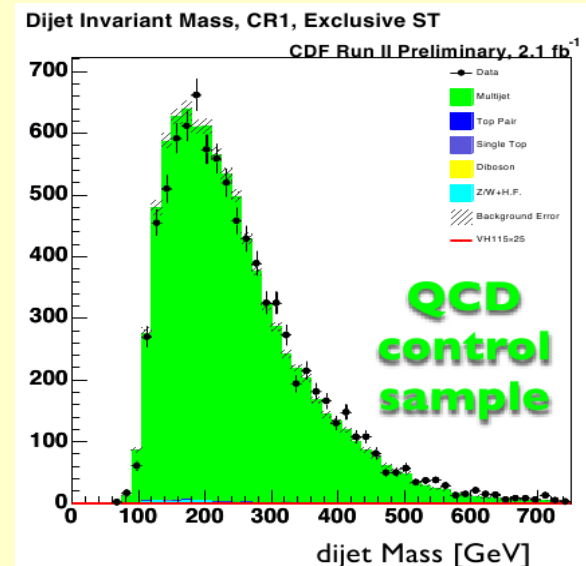
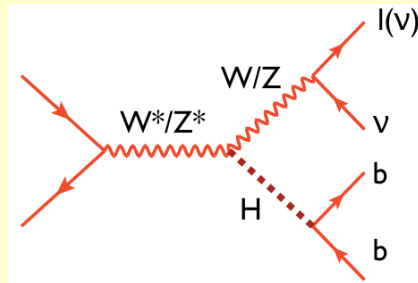


Exp: 5.6 Obs: 6.9

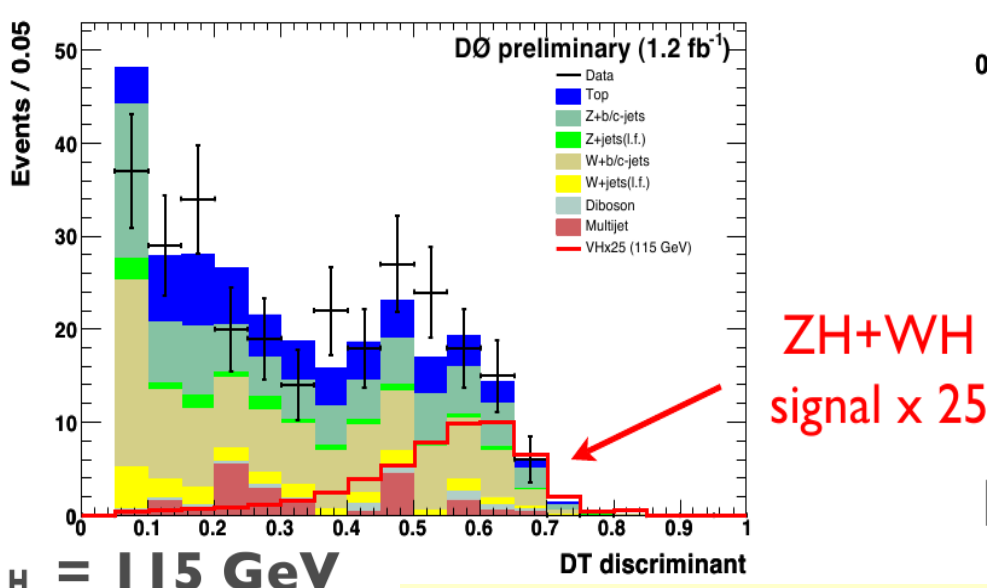
ZH $\rightarrow\nu\nu bb$

Topologie

- Bruits de fond:** QCD multijets ($*10^9$!), top, V+jets
- CDF & D0:** 2.1fb^{-1}

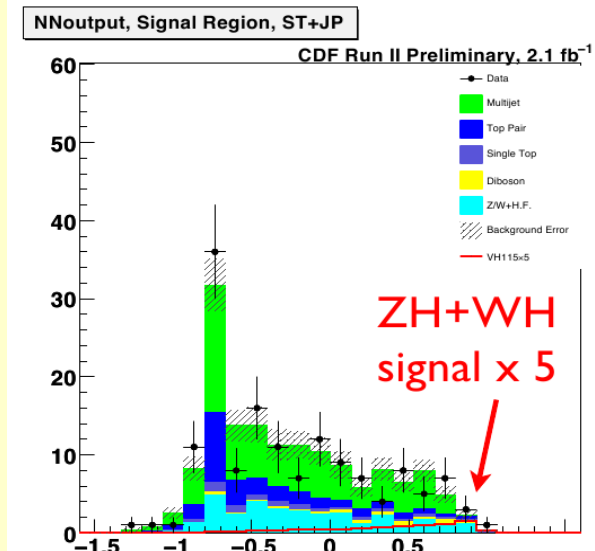


D0: arbre de décision



Exp: 8.4 Obs: 7.5 / 15 / 09

CDF: NN



Exp: 5.6 Obs: 6.9

La recherche du boson de Higgs *lourd*

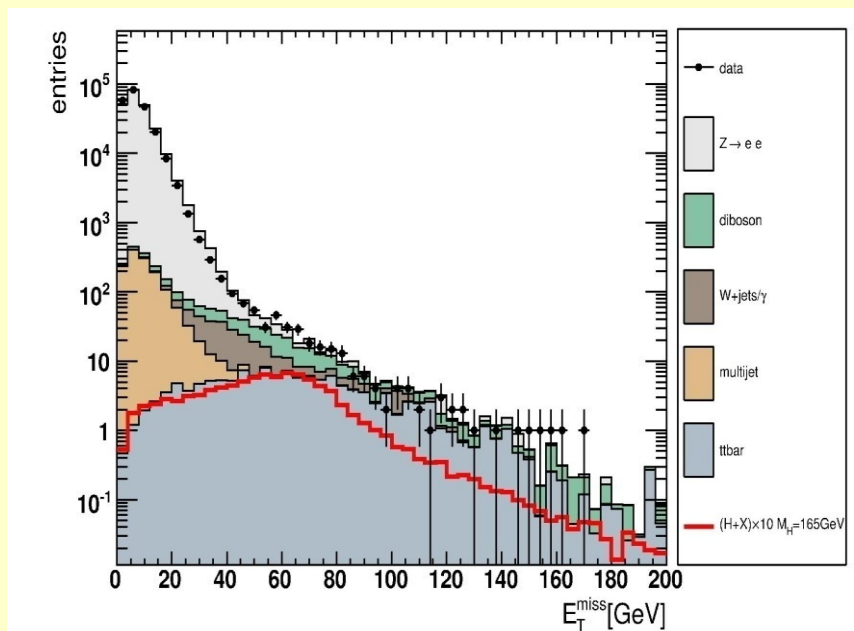
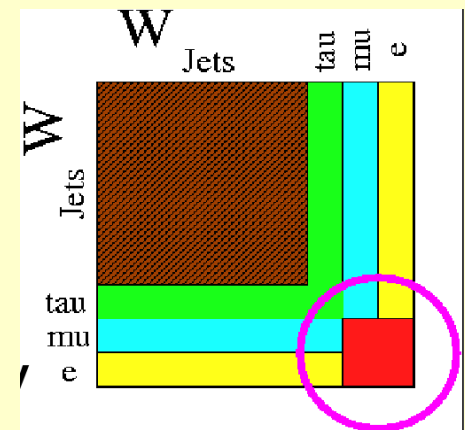
gg \rightarrow H \rightarrow WW

Topologie

- H \rightarrow W $^+$ W $^-$ \rightarrow l $^+$ nul $^-$ nu
- Déclenchement sur un lepton de grand p_T (10-15 GeV/c)

Bruits de fonds:

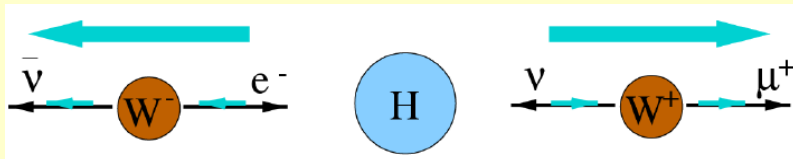
- Z/g DY \rightarrow l $^+$ l $^-$ mais *faible MET*
- Diboson (VV)
- Top, V+jets (mauvaise identification du lepton)



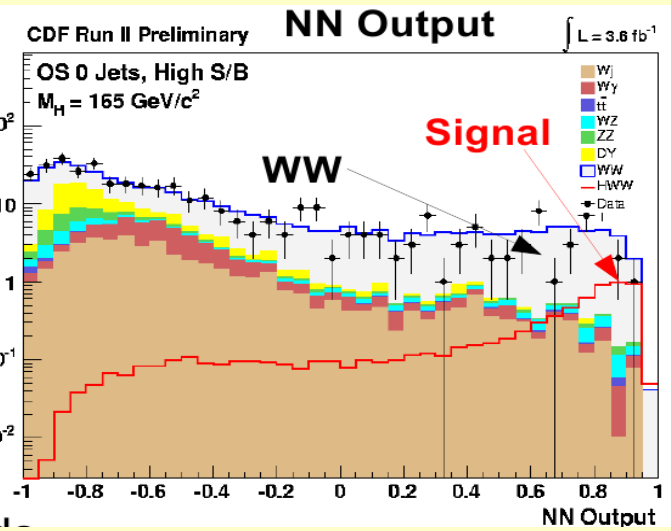
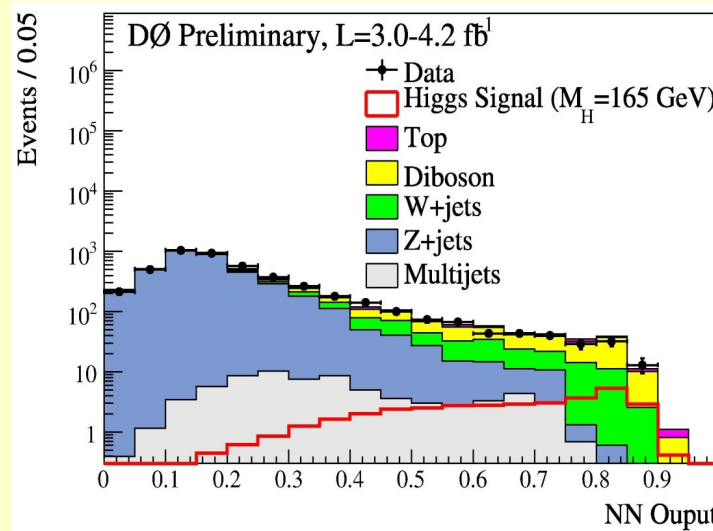
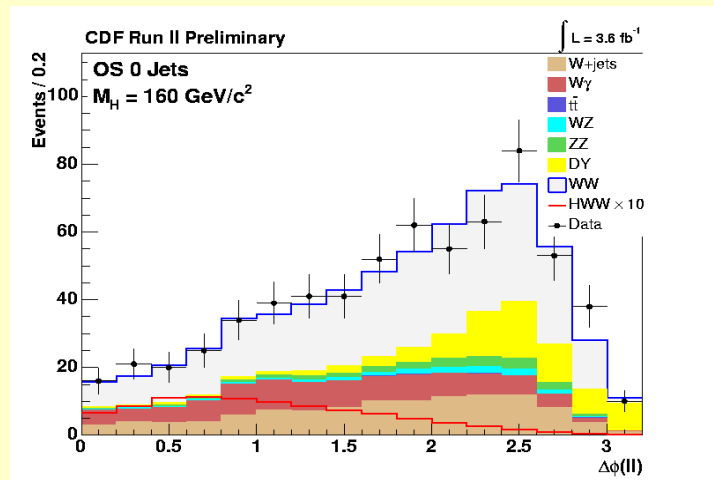
gg \rightarrow H \rightarrow WW

Correlation de spins

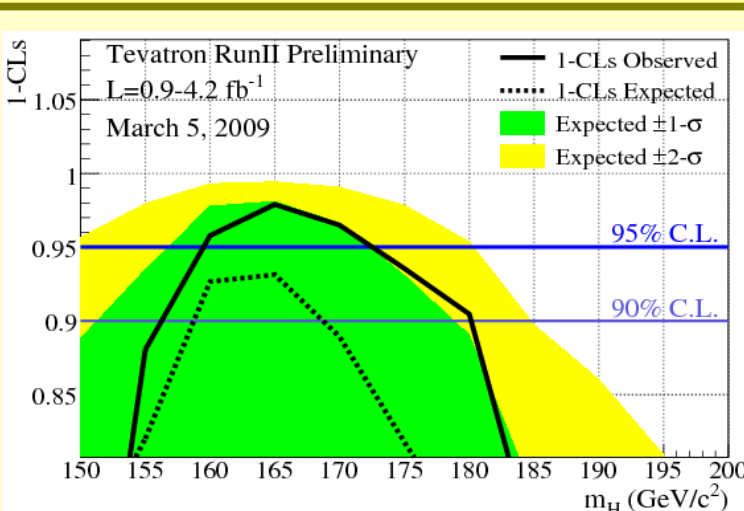
- Boson vecteur / scalaire



- 23 / 4994 événements signal / b.d.f
- Sensibilité maximisée avec un réseau de neurone
- CDF sépare 0,1,2 jets



Résultats combinés DØ et CDF

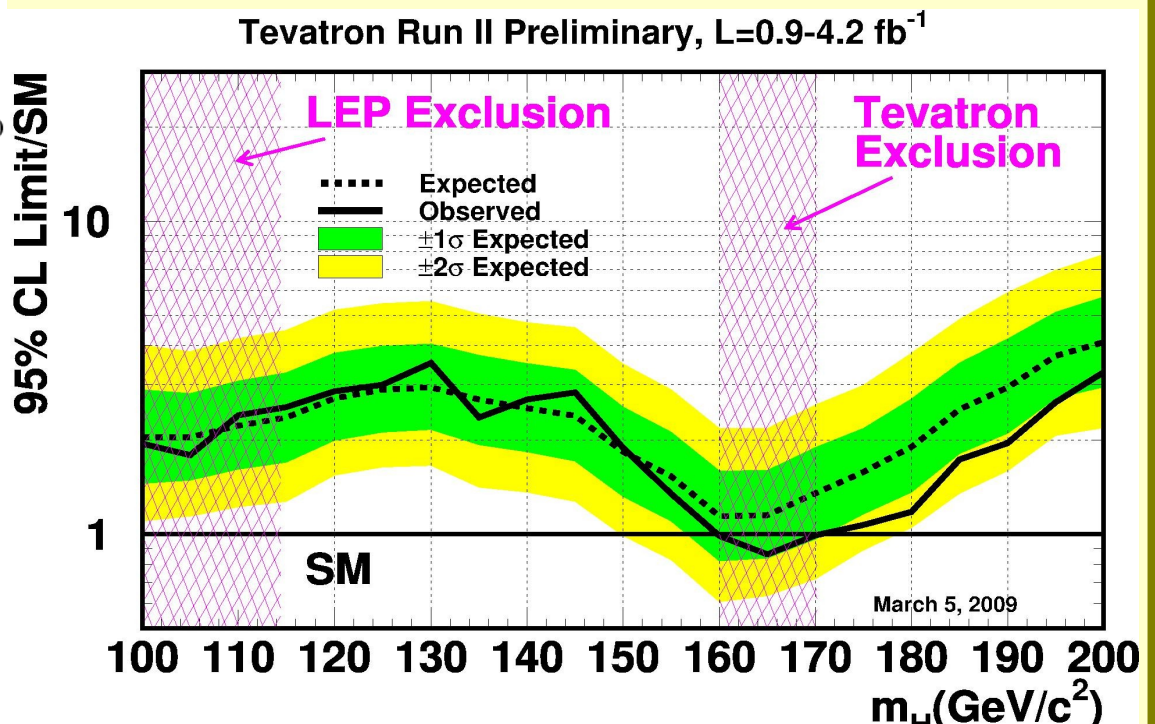


**Latest
Tevatron
Exclusion @
 $M_H = 115$**

Exp: 2.4 x SM
Obs: 2.6 x SM

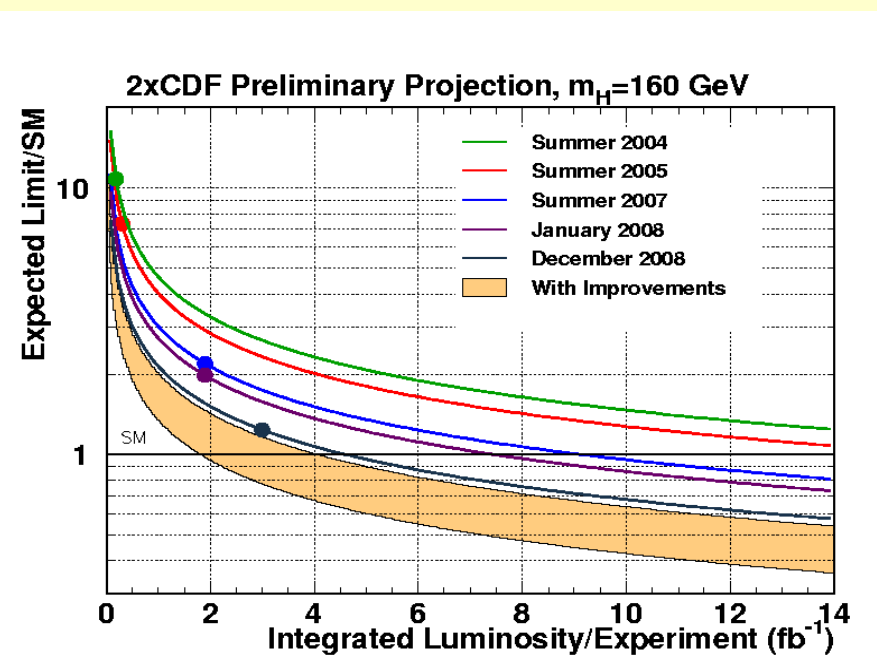
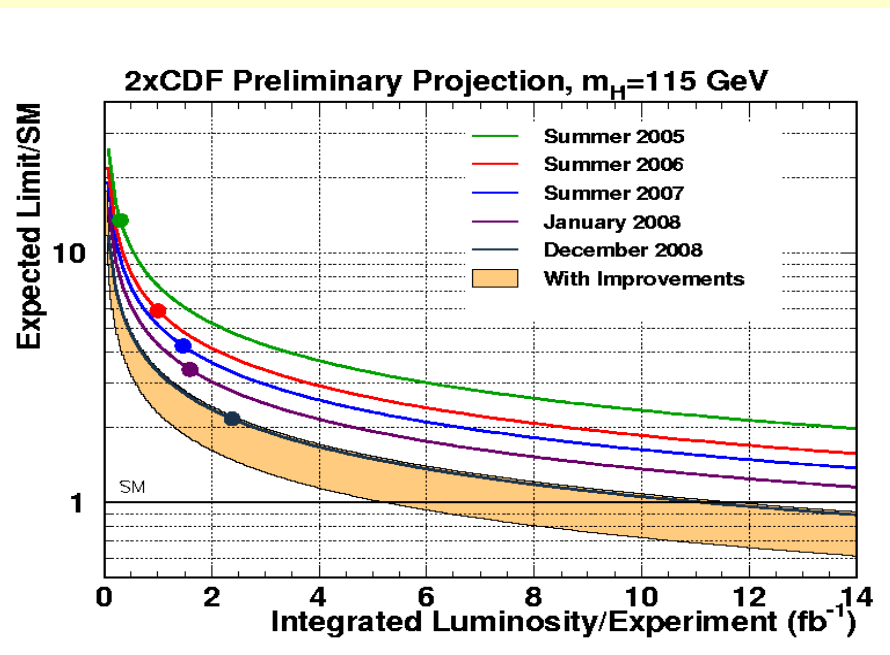
Erreurs systématiques :

- Normalisations (ex: sections efficaces théoriques)
- Formes (ex: JES, lepton-id, ...)



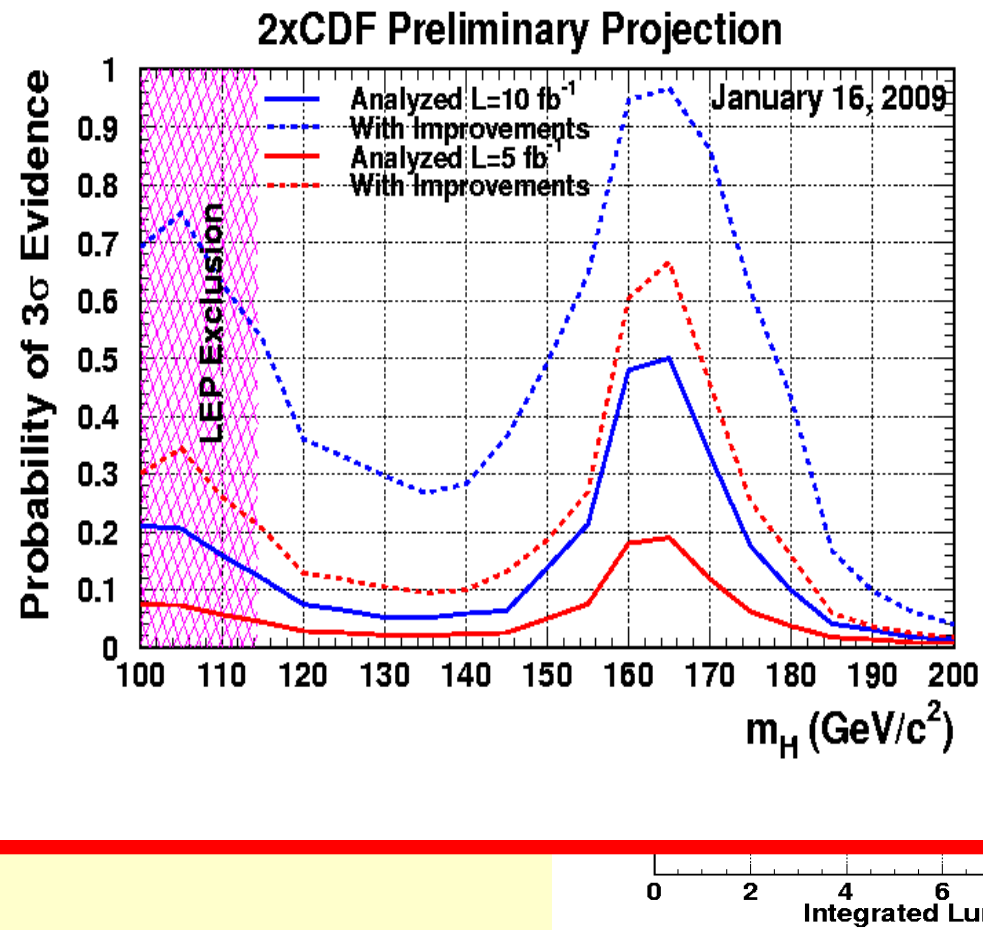
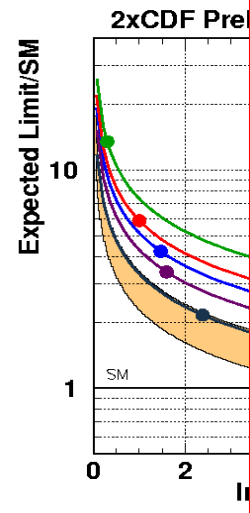
Perspectives

Perspectives ($1/\sqrt{Luminosité}$) en fonction de la luminosité intégrée pour des hypothese de masses de 115 et 160 GeV (La borne haute (basse) de la bande orange représente une amélioration de $x1.5$ (2.25) des résultats “Summer 2007”)

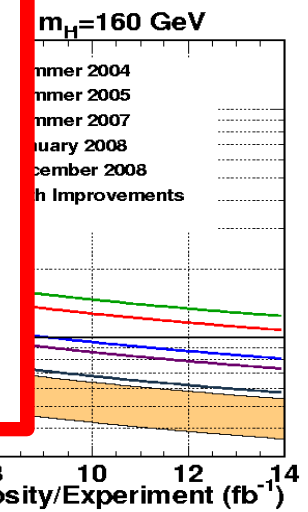


Perspectives

Perspectives d'
hypothese de
represents une



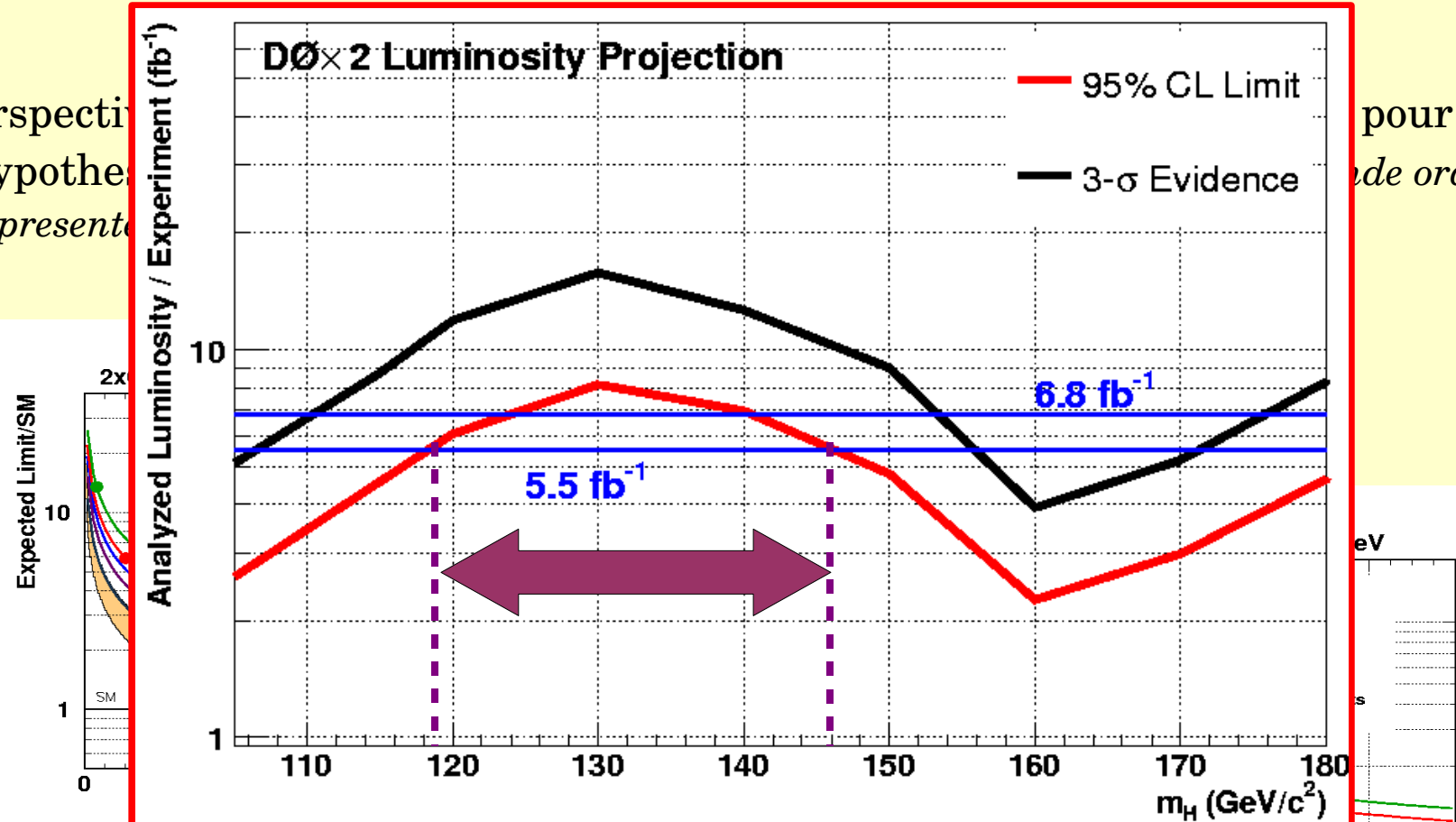
ergreee pour des
la bande orange
)



Perspectives

Perspectives
hypothèse
représentée

pour des
de orange

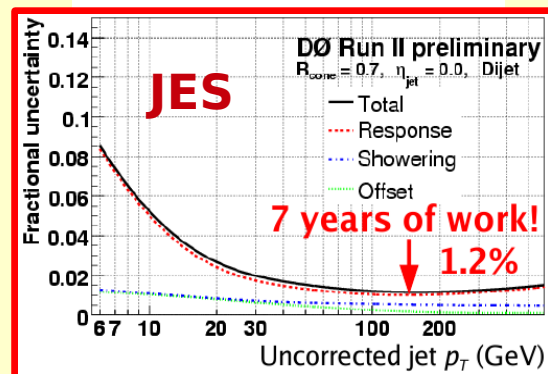
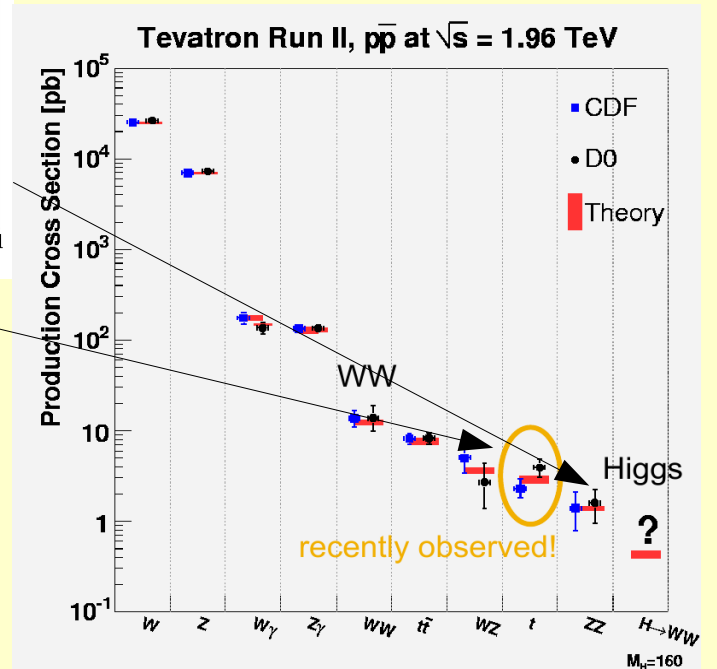
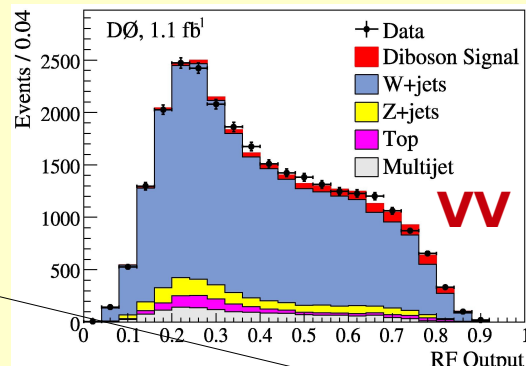
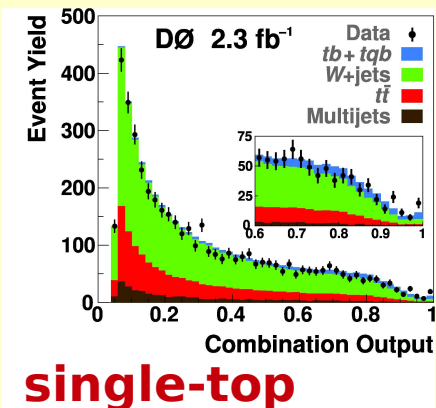


~2010: seul $115 < M_H < 145$ GeV @ 95 C.L

Domaine **difficile** pour le LHC (nécessitera ~5fb-1 = plusieurs années !)

Conclusion

- Les performances du TeVatron et des détecteurs D0,CDF sont **excellentes**
- La **maturité** des analyses croît plus vite que l'accumulation des données
- **Perspectives impressionnantes** : exclusion $120 < M_H < 200 \text{ GeV}$ d'ici 2011 !



Conclusion

Les performances du TeVatron et des détecteurs D0,CDF sont **excellentes**

La **maturité** des analyses croît plus vite que l'accumulation des données !

Perspectives impressionnantes : exclusion $120 < M_H < 200 \text{ GeV}$ d'ici 2011 !



http://tevnphwg.fnal.gov/results/SM_Higgs_Winter_09/

single-top

